

مکانیک پرواز ۲

Performance قابلیت های پروازی - مکانیک پرواز و اجسام پرنده

حصصیت و برنامه ریزی مسیر

Conductance & Trajectory planing

Aircraft = هواپرواز

پایداری و کنترل پرواز

Airplane = هواپیمای

Flight stability & Control

زیرموضوع های مکانیک پرواز ۲

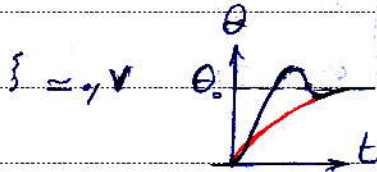
1- جهت گیری مطلوب هواپیمای در فضا static orientation

2- پایداری حرکت (وضعیت تعادل) dynamic stability

3- فرمان پذیری Controllability

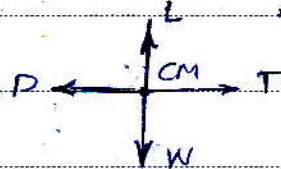
4- خوشبختی handling Quality

5- کیفیت های پروازی Flight Quality



نمودار از رابطه مکانیک پرواز ۱ و ۲

$L = W$



$T = D$

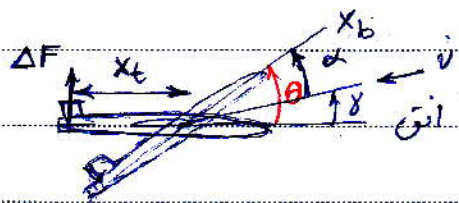
در حرکت مسیر

$L = L(\alpha)$

$C_L = C_L(\alpha)$

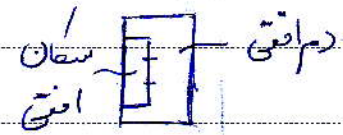
$C_L = C_{L_0} + \frac{\partial C_L}{\partial \alpha} \alpha$

حصصیت (مکانیک پرواز ۱)



$\theta = \alpha + \gamma$

زاویه مسیر خط افق



$\alpha = \alpha(\theta)$

$\theta = \theta(\delta_e)$

δ_e

$\delta_e = \delta(\theta, \theta_c)$

سکان عمودی

کنترل (مکانیک پرواز ۲)

مراجع اصلی درس مطابق پرواز ۱، ۲

1. Automatic Flight Control systems (AFCS),

Donald. Mc. Lean. Prentice Hall, 1990 فصل ۲، ۳، ۹، ۱۰، ۱۱

2. پایداری و کنترل پرواز محمد صائم صدرایی انتشارات آیدون ۱۳۸۸

فصل ۳، ۴، ۵، ۸

3. Flight stability and Automatic Control,

Robert Nelson, Mc. Graw Hill, 1998

توزیع نمره درس، تکالیف ۴ نمره میان ترم ۴ نمره پایان ترم ۱ نمره

سرفصل های درس، syllabus

فصل ۱- مدلسازی ریاضی حرکت ۶ درجه آزادی هواپیمای (فرض هواپیمای صلب)

موقعیت	$\left\{ \begin{array}{l} x, v_x \\ y, v_y \\ z, v_z \end{array} \right.$	وضعیت	$\left\{ \begin{array}{l} \psi \text{ زاویه سمت} \\ \theta \text{ فراز} \\ \phi \text{ غلت} \end{array} \right.$	سرعت غلت	$\left\{ \begin{array}{l} P \\ q \\ r \end{array} \right.$
Position		Atitude		سرعت فراز	
		orientation		سرعت سمتی	

فصل ۲- خطی سازی معادلات حرکت هواپیمای با استفاده از تئوری اغتشاشات کوچک

(Perturbation Theory) $X = X_0 + \Delta X \rightarrow$ Small Perturbation
 Trim Condition

نتیجه فصل ۲، تحلیل حرکت ۶ درجه آزادی به حرکت طولی و عرضی

متغیرهای حرکت طولی	$\left\{ \begin{array}{l} u \\ w \\ \theta \\ \alpha \\ q \end{array} \right.$	متغیرهای حرکت عرضی	$\left\{ \begin{array}{l} v(\beta) \text{ زاویه لغزش} \\ \phi \text{ حرکت جانبی} \\ \psi \text{ حرکت سمتی} \\ P \\ r \end{array} \right.$

فصل ۳- بررسی حرکت طولی هواپیمای Airplane Longitudinal Motion

$\frac{u(s)}{\delta_{th}(s)}$ $\frac{h(s)}{\delta_e(s)}$

زاویه درجه
سرعت

سپان اعقی

ϕ ψ
 فصل ۴. بررسی حرکت عرضی (سستی جانبی) Lateral Directional Motion

* نتیجه فصول ۳ و ۴ بدست آوردن انواع تبدیل هواپیما به غزلون بدت کنترل می باشد.

فصل ۵. بررسی تعادل هواپیما (شرایط تعادل) Trim Condition
 $h_0 \rightarrow \delta_{th}$
 $\alpha_0 \rightarrow$
 $\theta_0 \leftarrow \delta_{e0}$

فصل ۶. بررسی پایداری حرکت هواپیما (پایداری استاتیکی - پایداری دینامیکی) dynamic & static stability

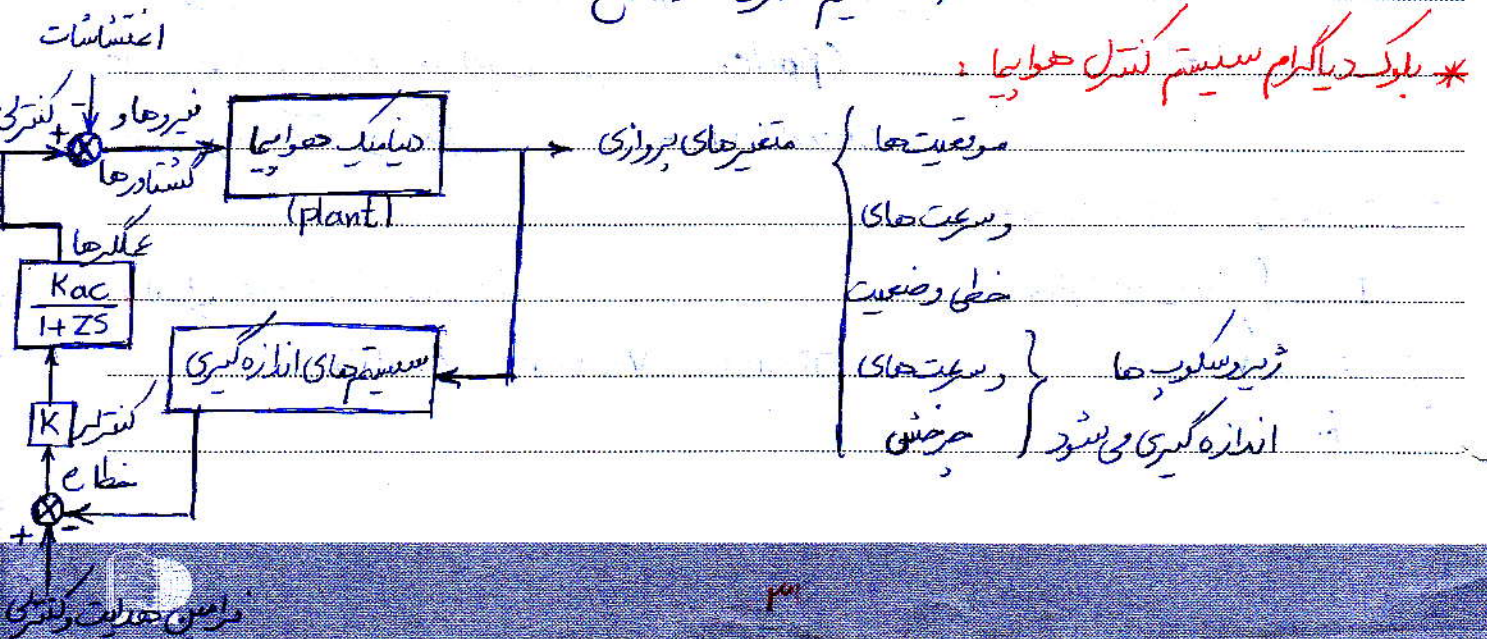
فصل ۷. سیستم های کنترل اتوماتیک پرواز Automatic Flight Control systems (AFCS)

۱-۷. سیستم های افزاینده پایداری stability Augmentation

۲-۷. سیستم های کنترل وضعیت } سیستم کنترل غلت ϕ
 سیستم کنترل فرار θ
 سیستم کنترل سمت ψ Turn Control

۳-۷. سیستم های کنترل مسیر } کنترل ارتفاع
 سیستم کنترل سرعت پرواز
 سیستم کنترل علامت ماخ

* بلوک دیگرام سیستم کنترل هواپیما:



عملگرهای نیروازی هواپیما

۴. عملگر برای هواپیمای معمولی (ترانست، Rudder، ...)



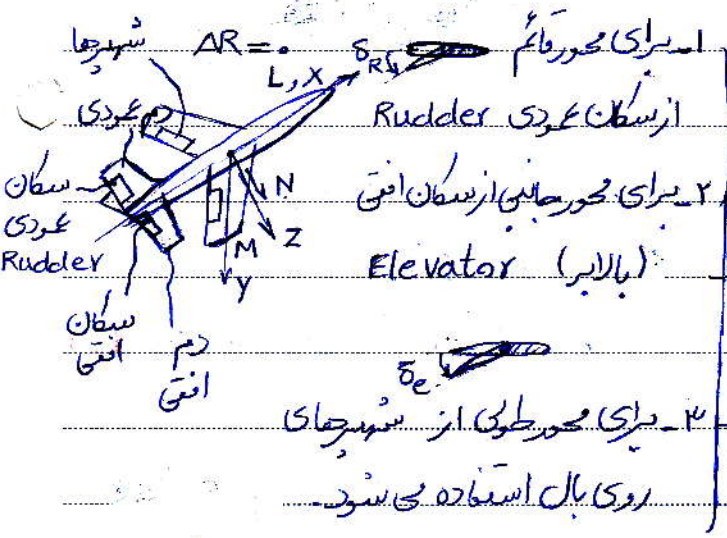
۱- کنترل موقعیت، نیروی بیشتران (موتورها)

کنترل موتور از طریق تنظیم تغذیه سوخت. (بازاورد در یک سوخت)

Throttle

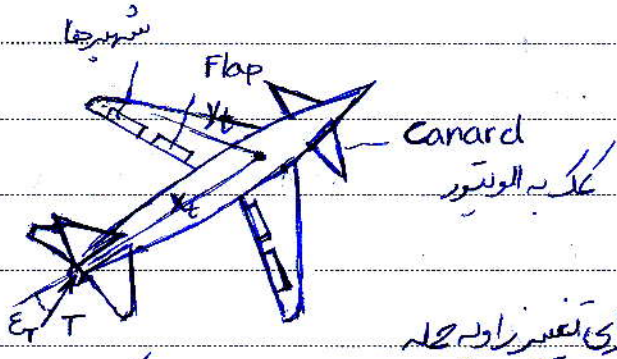
$T = T_0 + \Delta T$ $\text{زاویه درجه سوخت} = \Delta_{th} + \delta_{th}$ $\Delta T \sim \pm 10\% \cdot T$
 برای کنترل برای معادل

۲- عملگرهای کنترل وضعیت



$\Delta e = \Delta \cdot e + \delta e$
 مدار کنترل مدار عادی

عملگرهای اضافی در هواپیمای مانورپذیر



در هواپیمای جنگنده $I_y \sim I_z \gg I_x$

$I_x = \int_V (y^2 + z^2) dm$

* کنترل وضعیت با نیروی بیشتران

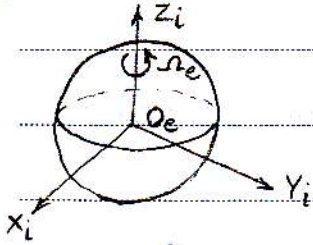
$T \sin \epsilon_T \times X_T = N$
 Y_T

Thrust Vector Control

* **هوائیایی** که دارای اجزاء کنترلی اضافی فوق باشد بنام هوائیای با بیکرنندگی کنترلی CCV
Control Configured Vehicle

دستگاه های مختصات و تبدیلات بین آن ها :

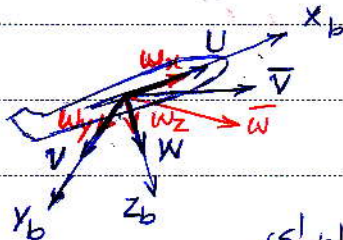
۱- دستگاه مختصات انیرسی ، دستگاهی که نسبت به خطی و عرضی زاویه ای نداشته باشد مبدأ این دستگاه روی مرکز زمین ، محور Z_i در امتداد محور عرضی و ضعی زمین (از قطب شمال جغرافیایی می گذرد) محورهای X_i ، Y_i در صفحه استوا



۲- دستگاه مختصات بدنی هوائیای (Body Axis) $O_{cm} X_b Y_b Z_b$

مبدأ آن در مرکز جرم جسم ، محور X_b در امتداد محور طولی ، محور Z_b در صفحه تاراج هوائیای به سمت

پایین



بردار سرعت $\vec{V} = U i + V j + W k$

مطلق

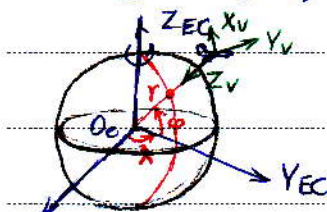
بردار سرعت زاویه ای $\vec{\omega} = \omega_x i + \omega_y j + \omega_z k$

مطلق جسم

۳- دستگاه مختصات زمین ثابت و زمین مرکز (Earth Fixed - Earth Centered) (ECEF)

دستگاهی است که نسبت به دستگاه انیرسی معرفی شده عرضی و ضعی زمین را انجام می دهد

موقعیت جسم بریزه مطابق شکل با مختصات λ ، ϕ ، و r طول و عرض جغرافیایی و شعاع موقعیت جسم مشخص می شود



X_{EC}
در امتداد

برین درج

۴- دستگاه مختصات قائم همراه $O_{cm} X_v Y_v Z_v$:

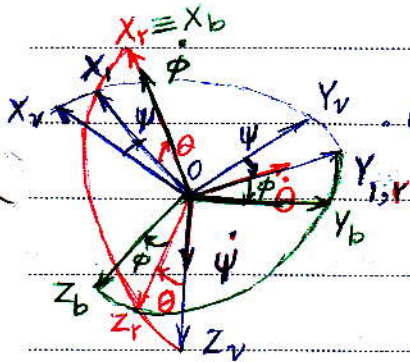
Local Vertical Frame

Vehicle Carried Frame

مبدأ آن در مرکز جرم جسم، محور Z_v به سمت مرکز زمین بصورت شعاعی محور X_v امتداد یافته و به سمت شمال جغرافیایی و یا یک سمت مشخص.
 * این دستگاه مختصات برای تعیین وضعیت (سمت لیری) هواپیما نسبت به زمین بکار می رود.

دستگاه های مختصات و تبدیلات بین آن ها:

وضعیت هواپیما نسبت به زمین با زوایای ازیلر (سمت فراز و خلت) مشخص می شود.

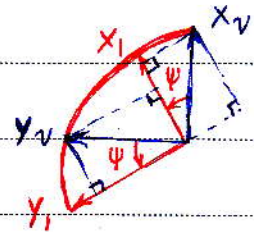


۱- چرخش سمت (Yaw) ψ : چرخش جسم حول محور Z_v قائم بر زمین.

$$X_1 = X_v \cos \psi + Y_v \sin \psi$$

$$Y_1 = Y_v \cos \psi - X_v \sin \psi$$

$$Z_1 \equiv Z_v$$



$$\Rightarrow \begin{Bmatrix} X_1 \\ Y_1 \\ Z_1 \end{Bmatrix} = \begin{bmatrix} \cos \psi & \sin \psi & 0 \\ -\sin \psi & \cos \psi & 0 \\ 0 & 0 & 1 \end{bmatrix} \begin{Bmatrix} X_v \\ Y_v \\ Z_v \end{Bmatrix}$$

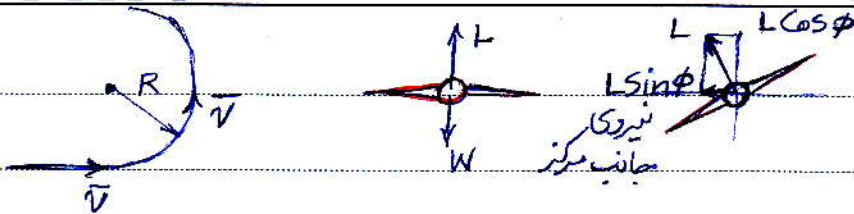
ماتریس دوران حول Z_v T_ψ

۲- چرخش فراز (Pitch) θ : چرخش جسم حول محور جانبی Y_1 (زاویه محور طولی با افق)

$$\begin{Bmatrix} X_2 \\ Y_2 \\ Z_2 \end{Bmatrix} = \begin{bmatrix} \cos \theta & 0 & -\sin \theta \\ 0 & 1 & 0 \\ \sin \theta & 0 & \cos \theta \end{bmatrix} \begin{Bmatrix} X_1 \\ Y_1 \\ Z_1 \end{Bmatrix}$$

ماتریس دوران حول Y_1 T_θ

۳- چرخش خلت (Roll) ϕ : چرخش هواپیما حول محور طولی خود.



$$\begin{Bmatrix} X_b \\ Y_b \\ Z_b \end{Bmatrix} = \begin{bmatrix} 1 & \cdot & \cdot \\ \cdot & \cos \phi & \sin \phi \\ \cdot & -\sin \phi & \cos \phi \end{bmatrix} \begin{Bmatrix} X_r \\ Y_r \\ Z_r \end{Bmatrix}$$

T_ϕ ماتریس چرخش حول محور X_b

$$\begin{Bmatrix} X_b \\ Y_b \\ Z_b \end{Bmatrix} = T_\phi \times T_\theta \times T_\psi \begin{Bmatrix} X_v \\ Y_v \\ Z_v \end{Bmatrix}$$

* ماتریس های دوران ماتریس های معاد هستند.

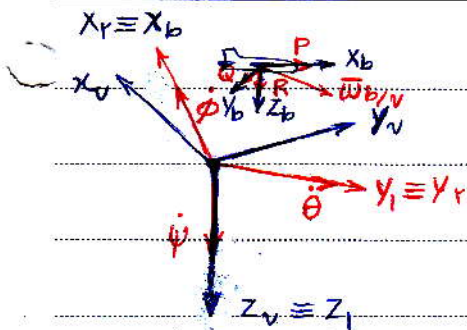
معکوس یک ماتریس معاد با آن خواهد آن برابری باشد.

$T_{\psi\theta\phi}$

$$T_{\psi\theta\phi} = \begin{bmatrix} \cos \psi \cos \theta & \sin \psi \cos \theta & -\sin \theta \\ \sin \psi \cos \theta + \sin \phi \cos \psi \sin \theta & \cos \phi \cos \psi + \sin \phi \sin \theta \sin \psi & \sin \phi \cos \theta \\ \sin \psi \sin \theta + \cos \phi \cos \psi \sin \theta & -\cos \psi \sin \phi + \sin \theta \sin \psi \cos \phi & \cos \theta \cos \phi \end{bmatrix}$$

$$\begin{Bmatrix} X_v \\ Y_v \\ Z_v \end{Bmatrix} = T_{\phi-\theta-\psi} \begin{Bmatrix} X_b \\ Y_b \\ Z_b \end{Bmatrix}$$

$$T_{\phi-\theta-\psi} = (T_{\psi\theta\phi})^{-1} = (T_{\psi\theta\phi})^T$$



بزرگی بردار سرعت زاویه ای هواپیما نسبت به زمین

$$\vec{w}_{b/v} = P\hat{i} + Q\hat{j} + R\hat{k}$$

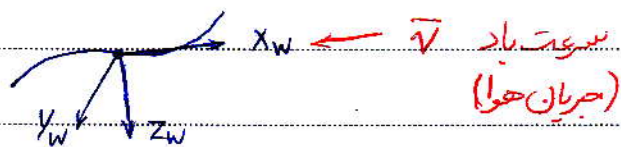
$$\begin{Bmatrix} P \\ Q \\ R \end{Bmatrix} = \begin{bmatrix} \cdot \\ \cdot \\ \cdot \end{bmatrix} \begin{Bmatrix} \dot{\psi} \\ \cdot \\ \cdot \end{Bmatrix} + \begin{bmatrix} \cdot \\ \cdot \\ \cdot \end{bmatrix} \begin{Bmatrix} \dot{\theta} \\ \cdot \\ \cdot \end{Bmatrix} + \begin{bmatrix} \cdot \\ \cdot \\ \cdot \end{bmatrix} \begin{Bmatrix} \dot{\phi} \\ \cdot \\ \cdot \end{Bmatrix}$$

$Z_r \quad Y_r \quad X_r \equiv X_b$

$$\begin{Bmatrix} P \\ Q \\ R \end{Bmatrix} = T_\phi \times T_\theta \begin{Bmatrix} \dot{\psi} \\ \cdot \\ \cdot \end{Bmatrix} + T_\phi \begin{Bmatrix} \dot{\theta} \\ \cdot \\ \cdot \end{Bmatrix} + \begin{Bmatrix} \dot{\phi} \\ \cdot \\ \cdot \end{Bmatrix}$$

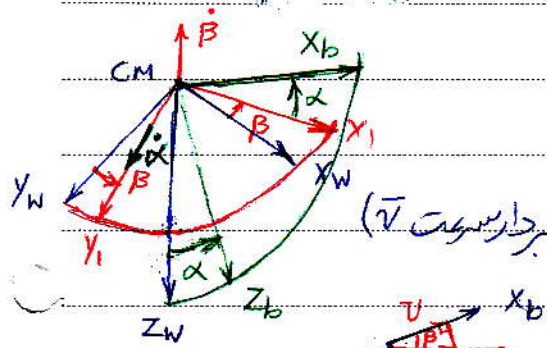
$$\begin{cases} P = \dot{\phi} - \dot{\psi} \sin \theta \\ Q = \dot{\theta} \cos \phi + \dot{\psi} \cos \theta \sin \phi \\ R = \dot{\psi} \cos \theta \cos \phi - \dot{\theta} \sin \phi \end{cases} \Rightarrow \begin{cases} \dot{\phi} = P + \tan \theta (Q \sin \phi + R \cos \phi) \\ \dot{\theta} = Q \cos \phi - R \sin \phi \\ \dot{\psi} = (Q \sin \phi + R \cos \phi) \frac{1}{\cos \theta} \end{cases}$$

دستگاه مختصات مسیری \$O_{cm} X_w Y_w Z_w\$ Wind axis



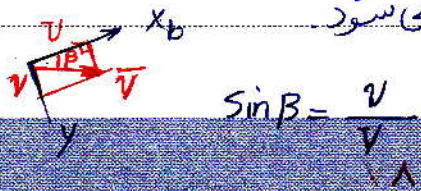
دستگاه مختصات مابقی نوال

این دستگاه به همراه هواپیما حرکت می کند. محور \$X_w\$ مابقی مسیر به سمت جلو مثبت است. محور \$Z_w\$ به طرف مرکز لنگر ای دورانی مسیر این دستگاه برای تعیین سمت گیری هواپیما نسبت به جریان هوا بکار می رود.



\$\beta\$ زاویه لغزش Sideslip angle

عرضش هواپیما حول محور \$Z_w\$ (یا زاویه صافه تبارن هواپیما با بردار سرعت \$\vec{v}\$) سرعت جانبی هواپیما باعث ایجاد این زاویه می شود



$$\begin{Bmatrix} X_I \\ Y_I \\ Z_I \end{Bmatrix} = \begin{bmatrix} \cos \beta & \sin \beta & \cdot \\ \sin \beta & \cos \beta & \cdot \\ \cdot & \cdot & 1 \end{bmatrix} \begin{Bmatrix} X_W \\ Y_W \\ Z_W \end{Bmatrix}$$

زاویه حمله هواپیمای Angle of attack

زاویه محور طولی هواپیمای با تصویر بردار سرعت در صفحه تقارن هواپیمای (اگر $\beta = 0$ علاوه بر زاویه حمله زاویه محور طولی هواپیمای با بردار سرعت می باشد)

$$C_L = C_L(\alpha) \quad , \quad C_L = C_L(\beta, \alpha)$$

$$\begin{Bmatrix} X_b \\ Y_b \\ Z_b \end{Bmatrix} = \begin{bmatrix} \cos \alpha & \cdot & -\sin \alpha \\ \sin \alpha & \cdot & \cos \alpha \end{bmatrix} \begin{Bmatrix} X_I \\ Y_I \\ Z_I \end{Bmatrix}$$

$$\begin{Bmatrix} X_b \\ Y_b \\ Z_b \end{Bmatrix} = T_\alpha \times T_\beta \begin{Bmatrix} X_W \\ Y_W \\ Z_W \end{Bmatrix}$$

T_α

$$T_{\beta\alpha} = T_\alpha \times T_\beta = \begin{bmatrix} \cos \alpha \cos \beta & -\sin \beta \cos \alpha & -\sin \alpha \\ \sin \beta & \cos \beta & \cdot \\ \sin \alpha \cos \beta & -\sin \alpha \sin \beta & \cos \alpha \end{bmatrix}$$

$$\begin{Bmatrix} U \\ V \\ W \end{Bmatrix} = T_{\beta\alpha} \times \begin{Bmatrix} U \\ V \\ W \end{Bmatrix}$$

مؤلفه های سرعت در دستگاه بدنی

$$\Rightarrow U = V \cos \beta \cos \alpha$$

$$W = V \sin \alpha \cos \beta$$

$$\alpha = \frac{W}{V} \approx \frac{W}{U}$$

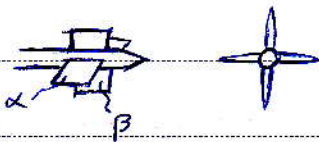
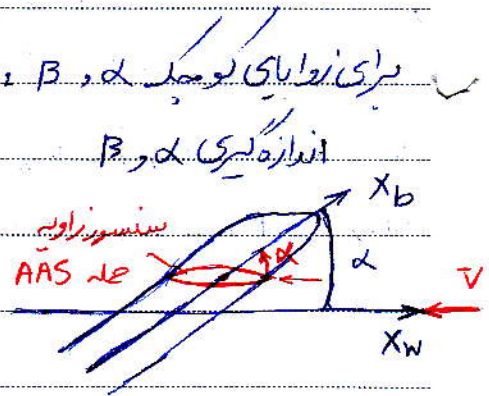
$$\beta = \frac{V}{U} \approx \frac{V}{U}$$

برای زوایای کوچک β و α

$$U \approx V$$

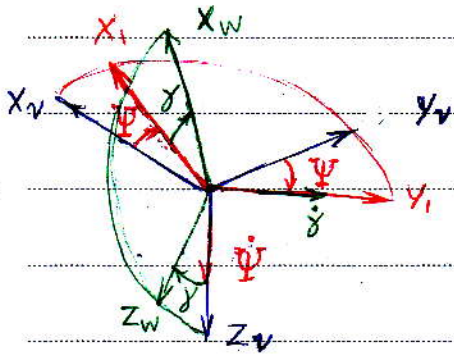
$$V \approx V \cdot \beta$$

$$W \approx V \cdot \alpha$$



در هواپیمای مافوق صوت اندازه گیری α و β از روش تجزیه ارزروی معادله سرعت ها و روابط فوق بدست می آید.

* تعیین وضعیت مسیر نسبت به زمین و وضعیت دستگاه مسیر نسبت به دستگاه قائم حواه



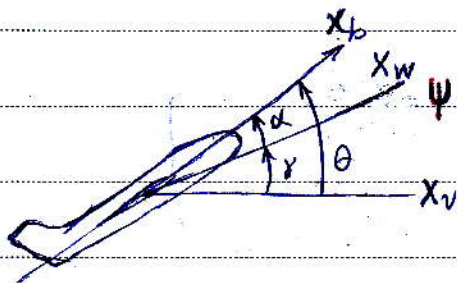
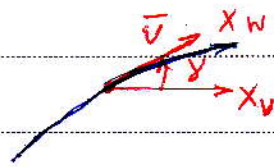
۱- زاویه سمت مسیر (آزیموت) Ψ Azimuth

زاویه تصویر افقی بردار سرعت با جهت مشخص شمال

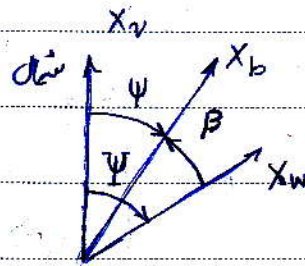
۲- زاویه مسیر (سبب مسیر) γ path angle

زاویه بردار سرعت با افق

$$\begin{cases} \theta = \gamma + \alpha \\ \Psi = \beta + \psi \end{cases}$$



$$\psi = \Psi = \beta = \dots$$



$$\alpha = \gamma = \theta = \dots$$

معادلات حرکت هواپیمای

فرضیات ۱- هواپیمای صلب (در نظر گرفته می شود). (مادون صوت)

۲- جرم هواپیمای در فرآیند بررسی حرکت تغییرات ناچیزی دارد. $m = \dots$ بود.

۳- کره زمین بدون چرخش و مسطح فرض می شود. دستگاه مختصات زمینی همان اینرسی خواهد بود.

$$\bar{W} = W_x i + W_y j + W_z k$$

$$\bar{W}_{b/v} = P i + Q j + R k \quad \text{R, Q, P مؤلفه های مطلق خواهد بود.}$$

* معادلات حرکت انتقالی مرکز جرم هواپیمای Position

قانون دوم نیوتن $\Sigma \bar{F} = \frac{d}{dt} (m \bar{v})$

$$\Sigma \bar{F} = \frac{d}{dt} (m \bar{v}) + \bar{W} \times (m \bar{v})$$

سرعت زاویه ای مطلق چرخش بردار $m \bar{v}$ در فضا

بیان معادلات بصورت مؤلفه‌ها در دستگاه باری.

برای نیروهای خارجی $\Sigma \vec{F} = F_x \vec{i} + F_y \vec{j} + F_z \vec{k}$

برای گشتاورهای خارجی $\Sigma \vec{M} = L \vec{i} + M \vec{j} + N \vec{k}$

$$\vec{v} = U \vec{i} + V \vec{j} + W \vec{k}$$

$$\vec{\omega} = P \vec{i} + Q \vec{j} + R \vec{k}$$

$$F_x \vec{i} + F_y \vec{j} + F_z \vec{k} = m (\ddot{U} \vec{i} + \ddot{V} \vec{j} + \ddot{W} \vec{k}) + m \times \begin{vmatrix} \vec{i} & \vec{j} & \vec{k} \\ P & Q & R \\ U & V & W \end{vmatrix}$$

$$m(\ddot{U} + QW - RV) = F_x$$

$$m(\ddot{V} + RU - PW) = F_y$$

$$m(\ddot{W} + PV - QU) = F_z$$

Orientation معادلات حرکت زاویه‌ای حولیاً (وضعیت)

Attitude

معادلات اولیه

Kinetic Moment

برای گشتاورهای خارجی برابر

$$\Sigma \vec{M} = \frac{d}{dt} (\vec{H})$$

Moment of Momentum

تغییرات زمانی اندازه حرکت

زاویه‌ای جسم باشد

$$\Sigma \vec{M} = \frac{\partial}{\partial t} (\vec{H}) + \vec{\omega} \times \vec{H}$$

$$d\vec{H} = \vec{r} \times dm \vec{v}$$

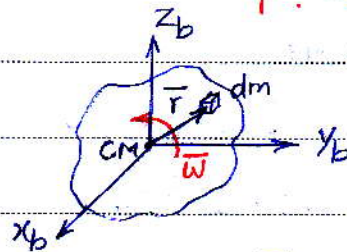
$$d\vec{H} = \vec{\omega} \times \vec{r} \cdot dm$$

تغییرات ناشی از چرخش $\vec{\omega}$ می باشد

$$d\vec{H} = \vec{r} \times dm \times \vec{\omega} \times \vec{r}$$

$$\vec{H} = \int_V (\vec{r} \times \vec{\omega} \times \vec{r}) dm$$

$$\vec{r} = x \vec{i} + y \vec{j} + z \vec{k}$$



اندازه حرکت زاویه‌ای جسم

$$H_x \vec{i} + H_y \vec{j} + H_z \vec{k} = \int (x \vec{i} + y \vec{j} + z \vec{k}) (P \vec{i} + Q \vec{j} + R \vec{k}) (x \vec{i} + y \vec{j} + z \vec{k}) dm$$

$$= \left\{ P \int (y^2 + z^2) dm - Q \int xy dm - R \int xz dm \right\} \vec{i}$$

I_{xx}

I_{xy}

I_{xz}

$$+ \left\{ -P \int yx dm + Q \int (x^2 + y^2) dm - R \int yz dm \right\} \vec{j}$$

I_{yx}

I_{yy}

I_{yz}

$$+ \left\{ \underbrace{-P}_{I_{zx}} \int z x \, dm + \underbrace{Q}_{I_{zy}} \int z y \, dm + \underbrace{R}_{I_{zz}} \int (x^2 + y^2) \, dm \right\} K$$

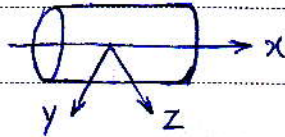
$$\begin{Bmatrix} H_x \\ H_y \\ H_z \end{Bmatrix} = \begin{bmatrix} I_{xx} & -I_{xy} & -I_{xz} \\ -I_{yx} & I_{yy} & -I_{yz} \\ -I_{zx} & -I_{zy} & I_{zz} \end{bmatrix} \begin{Bmatrix} P \\ Q \\ R \end{Bmatrix}$$

آنتنوری جسم \bar{I}

* یک جهت مشخص در جسم وجود دارد که در آن حاصل ضرب‌های آنتنوری صفر می‌شوند

$$\bar{I} = \begin{bmatrix} I_{xx} & \cdot & \cdot \\ \cdot & I_{yy} & \cdot \\ \cdot & \cdot & I_{zz} \end{bmatrix}$$

محورهای مختصات مربوط به این جهت را محورهای اصلی آنتنوری گویند.



$$\bar{I} = \begin{bmatrix} I_{xx} & \cdot & -I_{xz} \\ \cdot & I_{yy} & \cdot \\ -I_{xz} & \cdot & I_{zz} \end{bmatrix}$$

برای حوابها با توجه به صورت تبارک xz

$$\begin{cases} I_{xx} \dot{P} - I_{xz} (\dot{R} + PQ) + QR (I_{zz} - I_{yy}) = L \\ I_{yy} \dot{Q} + I_{xz} (P' - R') + PR (I_{xx} - I_{zz}) = M \\ I_{zz} \dot{R} + I_{xz} (QR - \dot{P}) + PQ (I_{yy} - I_{xx}) = N \end{cases}$$

$$P = \dot{\phi} - \dot{\psi} \sin \theta$$

$$Q = \dot{\theta} \cos \phi + \dot{\psi} \cos \theta \sin \phi$$

$$R = \dot{\psi} \cos \theta \cos \phi - \dot{\theta} \sin \phi$$

* حل معادلات غیر خطی فوق با معلوم بودن

نیروها و گشتاورهای خارجی شامل تعیین

توابع زمانی U, V, W, P, Q, R

ψ, θ, ϕ می‌باشند که حرکت حوابها را توصیف می‌کنند.

خطی سازی معادلات حرکت ۲ درجه آزادی حول یک

Perturbation Theory (Small Dist. Th.) مطابق تئوری اغتشاشات کوچک

در این تئوری حول یک حالت تعادل حرکت اغتشاشی برنده با فرض تغییرات متغیرها نسبت به یک مقدار ثابت توصیف می شود.

$$\begin{cases} U = U_0 + u \\ V = V_0 + v \\ W = W_0 + w \end{cases} \quad \begin{cases} P = P_0 + p \\ Q = Q_0 + q \\ R = R_0 + r \end{cases} \quad \begin{cases} \Phi = \Phi_0 + \phi \\ \theta = \theta_0 + \theta \\ \Psi = \Psi_0 + \psi \end{cases}$$

$$\Delta = \Delta_0 + \delta \quad (\delta_A, \delta_e, \delta_R, \delta_{th}, \delta_F)$$

$$\begin{aligned} \alpha = \alpha_0 + \alpha \\ \beta = \beta_0 + \beta \end{aligned} \quad F \Rightarrow \begin{aligned} X = X_0 + \Delta x \\ Y = Y_0 + \Delta y \\ Z = Z_0 + \Delta z \end{aligned} \quad \begin{cases} L = L_0 + \Delta L \\ M = M_0 + \Delta M \\ N = N_0 + \Delta N \end{cases}$$

* نیروها ، ۱) نیروی وزن ، ۲) نیروی کشش ، ۳) نیروهای آیرودینامیکی

در دستگاه مسطح در دستگاه بدنی

$$\begin{matrix} X_A \\ Y_A \\ Z_A \end{matrix} \quad \begin{matrix} L \\ D \end{matrix}$$

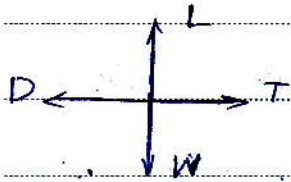
* مؤلفه های نیرو در دستگاه بدنی ،

$$\begin{Bmatrix} G_x \\ G_y \\ G_z \end{Bmatrix} = T_{\psi\theta\phi} \times \begin{Bmatrix} 0 \\ 0 \\ mg \end{Bmatrix} = \begin{Bmatrix} -mg \sin \theta \\ mg \cos \theta \sin \phi \\ mg \cos \theta \cos \phi \end{Bmatrix}$$

برای $\Phi = \Phi_0 + \phi$, $\theta = \theta_0 + \theta$

$$\begin{Bmatrix} G_x \\ G_y \\ G_z \end{Bmatrix} = \begin{Bmatrix} -mg \cos \theta_0 \theta - mg \sin \theta_0 \\ (mg \cos \theta_0 \cos \phi_0) \phi - (mg \sin \theta_0 \sin \phi_0) \theta + mg \cos \theta_0 \sin \phi_0 \\ -(mg \cos \theta_0 \sin \phi_0) \phi + (mg \sin \theta_0 \cos \phi_0) \theta - mg \cos \theta_0 \cos \phi_0 \end{Bmatrix}$$

انواع رژیم های دائمی پرواز (حالات تعادل)



۱- رژیم پرواز مسیری (Cruise)

$$V_0 = \text{Const} \quad \alpha_0 = \text{Const}$$

$$W_0 = 0 \quad \lambda_0 = 0$$

$$\nu_0 = 0 \quad \theta_0 = \text{Const}$$

$$h_0 = \text{Const} \quad (\rho \text{ ثابت})$$

$$\delta e_0 = \text{Const}$$

$$\delta A_0 = 0$$

$$\delta \theta_0 = \text{Const}$$

$$\delta R_0 = 0$$

۲- پرواز صعودی آرام با سرعت ثابت

$$W_0 = \text{Const}$$

به خط مسطحی

$$\lambda_0 = \text{Const}$$

$$\dot{h}_0 = \text{Const}$$

۳- دور زدن Turn

$$\dot{\psi}_0 = \text{Const} \quad \rightarrow \quad \dot{\psi}_0 = \frac{\dot{R}_0}{\cos \theta_0}$$

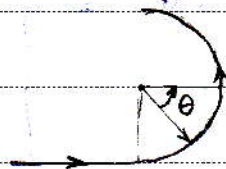
$$\phi_0 = \text{Const}$$

۴- مانور فروریخ (عذت سریع) Spin

$$P_0 = \text{Const}$$

$$\dot{\phi}_0 = \text{Const}$$

$$\dot{\theta}_0 = \text{Const}$$



۵- بالا کش Pull up

۶- تعلیق hovering

$$V_0 = 0$$

$$W_0 = 0$$

$$\nu_0 = 0$$

$$m(\dot{u} + QW - RV + g \sin \theta) = X \quad \text{نیروها و گشتاورهای آیرودینامیکی بدون فنک}$$

$$m(\ddot{x} + \dot{u} + (Q_0 + q)(w_0 + w) - (R_0 + r)(v_0 + v) + g \sin(\theta_0 + \theta)) = X_0 + \Delta X$$

$$m(Q_0 W_0 - R_0 V_0 - g \sin \theta_0) = X_0 \quad \text{معادله تعادل (Trim Condition)}$$

$$m(\dot{u} + Q_0 w + w_0 q - v_0 r + g \cos \theta_0 \theta) = \Delta X \quad \text{معادله اغتشاشی}$$

$$\Rightarrow \left\{ \begin{array}{l} m(\dot{u} + g \cos \theta_0 \theta) = \Delta X \\ m(\dot{v} + U_0 r - g \cos \theta_0 \phi) = \Delta Y \\ m(\dot{w} - U_0 q + g \sin \theta_0 \theta) = \Delta Z \\ I_{xx} \dot{P} - I_{xz} \dot{r} = \Delta L \\ I_{yy} \dot{q} = \Delta M \\ I_{zz} \dot{r} - I_{xz} \dot{P} = \Delta N \\ \dot{\phi} = P + r \tan \theta_0 \\ \dot{\theta} = q \\ \dot{\psi} = \frac{r}{\cos \theta_0} \end{array} \right.$$

$$m(\dot{v} + U_0 r - g \cos \theta_0 \phi) = \Delta Y$$

$$m(\dot{w} - U_0 q + g \sin \theta_0 \theta) = \Delta Z$$

$$I_{xx} \dot{P} - I_{xz} \dot{r} = \Delta L$$

$$I_{yy} \dot{q} = \Delta M$$

$$I_{zz} \dot{r} - I_{xz} \dot{P} = \Delta N$$

$$\dot{\phi} = P + r \tan \theta_0$$

$$\dot{\theta} = q$$

$$\dot{\psi} = \frac{r}{\cos \theta_0}$$

$$\left\{ \begin{array}{l} m(\dot{u} + g \cos \theta_0 \theta) = \Delta X \\ m(\dot{w} - U_0 q + g \sin \theta_0 \theta) = \Delta Z \\ I_{yy} \dot{q} = \Delta M \\ \dot{\theta} = q \end{array} \right.$$

$$m(\dot{w} - U_0 q + g \sin \theta_0 \theta) = \Delta Z$$

$$I_{yy} \dot{q} = \Delta M$$

$$\dot{\theta} = q$$

حرکت طولی هواپیما (حرکت در صند قائم و حول محور جانبی)



$$\left\{ \begin{array}{l} m(\dot{v} + U_0 r - g \cos \theta_0 \phi) = \Delta Y \\ I_{xx} \dot{P} - I_{xz} \dot{r} = \Delta L \\ I_{zz} \dot{r} - I_{xz} \dot{P} = \Delta N \\ \dot{\phi} = P + r \tan \theta_0 \\ \dot{\psi} = \frac{r}{\cos \theta_0} \end{array} \right.$$

$$* \beta = \frac{v}{U_0}$$

$$\left\{ \begin{array}{l} U = V \cos \alpha \cos \beta \\ V = V \sin \beta \\ W = V \sin \alpha \cos \beta \end{array} \right. \longrightarrow \begin{array}{l} U = V \\ V = V \cdot \beta \\ W = V \cdot \alpha \end{array}$$

$$\alpha = \frac{W}{U}$$

خطی سازی روابط نیروها و گشتاد درها بر اساس روش سبب تلور.

$$X = X(u, w, q, \theta, \dot{u} + \dot{w}, \dot{q}, \dot{\theta}, \delta_e, \delta_{th}, \dot{\delta}_e, \dot{\delta}_{th})$$

حالت طولی ↑

$$\begin{cases} m(\ddot{u} + g \cos \theta \cdot \theta) = \Delta X \\ m(\ddot{w} - U \cdot \dot{q} + g \sin \theta \cdot \theta) = \Delta Z \\ I_{yy} \dot{q} = \Delta M \\ \dot{\theta} = q \end{cases}$$

نیروها، نیروی پیشران + نیروهای آیرودینامیکی

$$X = X_0 + \frac{\partial X}{\partial u} u + \frac{\partial X}{\partial \dot{u}} \dot{u} + \frac{\partial X}{\partial w} w + \frac{\partial X}{\partial \dot{w}} \dot{w} + \frac{\partial X}{\partial q} q + \frac{\partial X}{\partial \dot{q}} \dot{q} + \frac{\partial X}{\partial \theta} \theta + \frac{\partial X}{\partial \dot{\theta}} \dot{\theta} + \frac{\partial X}{\partial \delta_e} \delta_e + \frac{\partial X}{\partial \dot{\delta}_e} \dot{\delta}_e + \frac{\partial X}{\partial \delta_{th}} \delta_{th} + \frac{\partial X}{\partial \dot{\delta}_{th}} \dot{\delta}_{th}$$

* مشتقات با باری تعیین کننده با باری (استاتیکی) هستند

$$\frac{\partial X}{\partial i} X \cdot \frac{1}{m} = X_i \quad i = u, \dot{u}, w, \dot{w}$$

$$\frac{\partial M}{\partial i} X \cdot \frac{1}{I_{yy}} = M_i \quad i = u, \dot{u}, w, \dot{w}$$

* در ضمیمه B آخر کتاب مکین جدول مشتقات هواپیماها در کلاس های مختلف در دسترس است. با باری آن ها ذکر شده است.

- ۱- پرواز سیر در سطح دریا
- ۲- پرواز در ارتفاع متوسط و سرعت متوسط
- ۳- پرواز در ارتفاع سیر و سرعت متوسط
- ۴- پرواز در ارتفاع سیر و سرعت سیر

۴ رژیم پروازی Flight + Condition

مثال - هواپیمای DELTA بد هواپیمای نیروی باری ۴ موتور

(موتورها توربوفن)

$$\begin{cases} U_0 = 240 \frac{m}{s} \\ m = 30000 \text{ Kg} \\ I_{yy} = 4,31 \times 10^7 \text{ Kg m}^2 \\ h = 12200 \text{ m} \\ I_{xx} = 3,77 \times 10^7 \text{ Kg m}^2 \\ \alpha_0 = 4,9^\circ \quad \gamma_0 = 0 \quad \theta_0 = \alpha_0 = 4,9^\circ \end{cases}$$

Flight + Condition 4 :

$$\begin{cases} I_{xz} = 0,322 \times 10^7 \text{ Kg m}^2 \\ I_{zz} = 7,42 \times 10^7 \text{ Kg m}^2 \end{cases}$$

$$\begin{cases} \dot{u} = X_u \cdot u + X_w \cdot w - g \cos \theta \cdot \theta + X_{\delta e} \cdot \delta e + X_{\delta th} \cdot \delta th \\ \dot{w} = Z_u \cdot u + Z_w \cdot w + U_0 \cdot q - g \sin \theta \cdot \theta + Z_{\delta e} \cdot \delta e + Z_{\delta th} \cdot \delta th \\ \dot{q} = M_u \cdot u + M_w \cdot w + M_{\dot{w}} \cdot \dot{w} + M_q \cdot q + M_{\delta e} \cdot \delta e + M_{\delta th} \cdot \delta th \\ \dot{\theta} = q \end{cases}$$

* معادلات فوق معادلات حرکت اغتشاشی طولی هواپیمای در پرواز سیر می‌باشند.

$$\begin{Bmatrix} \dot{u} \\ \dot{w} \\ \dot{q} \\ \dot{\theta} \end{Bmatrix} = \begin{bmatrix} X_u & X_w & \cdot & -g \cos \theta \\ Z_u & Z_w & U_0 & -g \sin \theta \\ \frac{M_u + M_{\dot{w}} Z_u}{\bar{M}_u} & \frac{M_w + M_{\dot{w}} Z_w}{\bar{M}_w} & \frac{M_q + M_{\dot{w}} U_0}{\bar{M}_q} & -g \bar{M}_u \sin \theta \\ \cdot & \cdot & \cdot & \cdot \end{bmatrix} \begin{Bmatrix} u \\ w \\ q \\ \theta \end{Bmatrix}$$

$$+ \begin{bmatrix} X_{\delta e} & X_{\delta th} \\ Z_{\delta e} & Z_{\delta th} \\ \frac{M_{\delta e} + M_{\dot{w}} Z_{\delta e}}{\bar{M}_{\delta e}} & \frac{M_{\delta th} + M_{\dot{w}} Z_{\delta th}}{\bar{M}_{\delta th}} \\ \cdot & \cdot \end{bmatrix} \begin{Bmatrix} \delta e \\ \delta th \end{Bmatrix}$$

$$\dot{X} = AX + BU \quad X = \begin{Bmatrix} u \\ w \\ q \\ \theta \end{Bmatrix}$$

فرم معادلات حالت هواپیمای

ماتریس تغییرهای حالت

$$U = \begin{Bmatrix} \delta e \\ \delta th \end{Bmatrix}$$

ماتریس ورودی

(کنترلی)

$$A = \begin{bmatrix} -0.03 & \cdot & \cdot & -g \cos 4.9^\circ \\ 0.17 & -0.387 & 24. & -g \sin 4.9^\circ \\ 0.00024 & -0.00058 & -0.98 & 0.00042 \\ \cdot & \cdot & 1 & \cdot \end{bmatrix}$$

شکل

$$\Delta(s) = |sI - A| = 0$$

معادله مشخصه معادلات (نوسان) سبیل

$$\Delta(s) = s^4 + 1.097s^3 + 1.800s^2 + 0.1009s + 0.0004 = 0$$

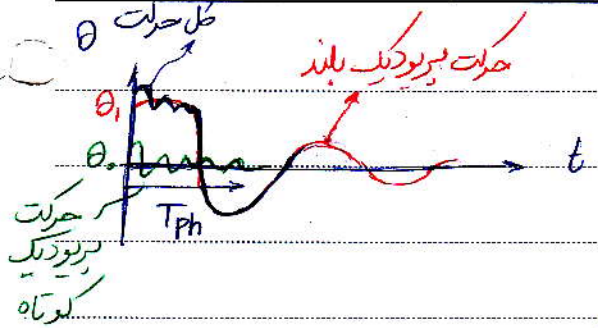
$$\begin{cases} s_{1,2} = -0.17 \pm 0.73j & \text{حرکت پرورد بلند} & \text{Long Period (Phugoid) فزونی} \\ s_{3,4} = -0.51 \pm 1.212j & \text{حرکت پرورد کوتاه} & s = a + bj = -\{\omega_n \pm \omega_n \sqrt{1 - \zeta^2}\} \end{cases}$$

نوسانی پایدار (ریشه‌ها مختلط با قسمت حقیقی منفی)

Short Period

ω_n فرکانس طبیعی حرکت

* دو حرکت نوسانی پایدار برای حرکت طبیعی هواپیمای وجود دارد. $\zeta =$ ضریب میرایی نسبی



$T_{ph} = 0.141 \text{ sec}$ $\xi_{ph} = 0.344$

$T_{sp} = 0.118 \text{ sec}$ $\xi_{sp} = 0.394$

معادله مشخصه حرکت طولی

$$\dot{X} = AX + BU \quad A = \begin{Bmatrix} X_u & X_w & 0 & -g \cos \theta \\ Z_u & Z_w & U_0 & -g \sin \theta \\ \bar{M}_u & \bar{M}_w & \bar{M}_q & \bar{M}_\theta \\ \cdot & \cdot & 1 & \cdot \end{Bmatrix}$$

$\Delta(s) = |SI - A| = 0$

$\Delta(s) = s^4 + a_1 s^3 + a_2 s^2 + a_3 s + a_4 = 0$

- ۱- $a_1 = -(X_u + M_q + Z_w + M_{\dot{w}} U_0)$
- ۲- $a_2 = (M_q Z_w - M_w U_0 + X_u Z_w - Z_u X_w - X_u M_q + X_u M_{\dot{w}} U_0)$
- ۳- $a_3 = -(X_u Z_w M_q - X_u M_w U_0 - M_q Z_u X_w + M_u X_w U_0 - g M_u - g M_{\dot{w}} Z_u)$
- ۴- $a_4 = g(Z_u M_w - Z_w M_u)$

مسئله - حوائجی جاری ، یک حوائجی مسافری بزرگ با ۴ موتور توربوفن : (شرایط پروازی ۲)

حالت نامایاری فوگنید

$X_u = 0.003$	$X_w = 0.78$	$Z_u = -0.07$
$Z_w = -0.433$	$M_u = 0.0008$	$M_w = -0.004$
$M_{\dot{w}} = -0.0004$	$M_q = -0.421$	$U_0 = 108 \frac{m}{s}$
$h = 4100 \text{ m}$	$m = 290000 \text{ kg}$	$\alpha_0 = 4.1^\circ$

$\Delta(s) = s^4 + 0.914 s^3 + 1.113 s^2 - 0.0010 s + 0.0040$

- ریشه‌ها
- $-0.429 \pm j 0.94$ مورد پیروید کوتاه
 - $2.0 \times 10^{-3} \pm j 0.43$ مورد فوگنید نامایار نوسانی

مسئله - هواپیمای آلفا یک هواپیمای جت چهار موتوره

$$h = 12000 \text{ m}$$

$$U_0 = 234 \frac{\text{m}}{\text{s}}$$

$$\alpha_0 = 4.2^\circ$$

$$m = 17000 \text{ Kg}$$

$$X_u = -0.2 \times 10^{-2}$$

$$X_w = -0.0043$$

$$Z_u = -0.035$$

$$Z_w = -0.445$$

$$M_u = -0.14$$

$$M_w = -0.025$$

$$M_{\dot{w}} = -0.001$$

$$M_q = -0.054$$

$$\Delta(s) = s^3 + 1.475s^2 + 4.14s - 0.149s - 0.00183 = 0$$

}	$S_{1,2} = -0.714 \pm j 2.39$	برپدید کوتاه
	$S_3 = 0.104$	حرکت ناپایدار
	$S_4 = 0.128$	حرکت ناپایدار

Tuck Mode

موتونک

(ناپایداری غیر نوسانی حرکت فوگناید)

$$M_u < 0$$

حالت شیب

$$\begin{cases} T_{sp} = 2 \text{ تا } 15 \text{ sec} \\ T_{ph} = 2 \text{ تا } 3 \text{ sec} \end{cases}$$

نکته

مسئله - برابور: هواپیمای جت جنگنده دو موتوره (در شرایط پرواز ۴)

$$h = 9100 \text{ m}$$

$$U_0 = 140 \frac{\text{m}}{\text{s}}$$

$$m = 14000 \text{ Kg}$$

$$\alpha_0 = 4.5^\circ$$

$$X_u = -0.007$$

$$X_w = 2 \times 10^{-2}$$

$$Z_u = -0.118$$

$$Z_w = -0.0023$$

$$M_u = 0$$

$$M_w = 0.004$$

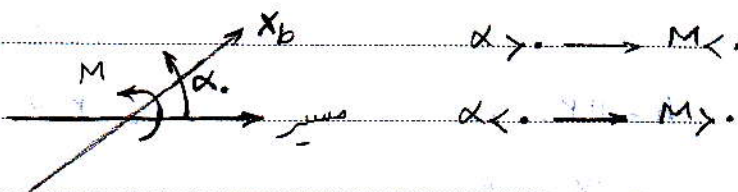
$$M_{\dot{w}} = -0.002$$

$$M_q = -0.098$$

$$s^3 + s^2 - 0.182s^2 - 0.0022s - 0.004 \times 10^{-3} = 0$$

}	$-0.21 \pm j 0.72$	حرکت فوگناید ناپایدار
	-1.445	حرکت برپدید کوتاه ناپایدار
	0.474	حرکت برپدید کوتاه ناپایدار

$$\alpha = \frac{W}{U_0} \rightarrow M_u = \frac{M\alpha}{U_0}$$



$$m(\dot{v} + U_0 r - g \cos \theta \cdot \phi) = \Delta y$$

خطی سازی حرکت عرضی.

$$I_{xx} \dot{P} - I_{xz} \dot{r} = \Delta L$$

$$I_{zz} \dot{r} - I_{xz} \dot{P} = \Delta N$$

$$\dot{\phi} = P + r \tan \theta.$$

$$\dot{\psi} = \frac{r}{\cos \theta}.$$

$$y = y(v, \dot{v}, P, \dot{P}, r, \dot{r}, \phi, \dot{\phi}, \psi, \dot{\psi}, \delta_a, \dot{\delta}_a, \delta_R, \dot{\delta}_R)$$

$$y = y_0 + \frac{\partial y}{\partial v} v + \frac{\partial y}{\partial \dot{v}} \dot{v} + \dots$$

$$y_i = \frac{1}{m} \frac{\partial y}{\partial i} \quad i = v, \dot{v}, P, \dot{P}, \dots$$

$$\dot{v} = y_v \cdot v - U_0 r + g \cos \theta \cdot \phi + y_{\delta_R} \cdot \delta_R$$

سین از جاذبنداری.

$$\dot{P} = \frac{I_{xz}}{I_{xx}} \dot{r} + L_v \cdot v + L_P \cdot P + L_r \cdot r + L_{\delta_A} \cdot \delta_A + L_{\delta_R} \cdot \delta_R$$

$$\dot{r} = \frac{I_{xz}}{I_{xx}} \dot{P} + N_v \cdot v + N_P \cdot P + N_r \cdot r + N_{\delta_A} \cdot \delta_A + N_{\delta_R} \cdot \delta_R$$

$$\dot{\phi} = P + r \tan \theta.$$

$$\dot{\psi} = \frac{r}{\cos \theta}.$$

$$\dot{X} = AX + BU$$

معادلات حالت.

$$X = \begin{Bmatrix} v \\ P \\ r \\ \phi \\ \psi \end{Bmatrix}$$

$$X = \begin{Bmatrix} \beta \\ P \\ r \\ \phi \\ \psi \end{Bmatrix}$$

$$A = \begin{Bmatrix} y_v & \cdot & \cdot & \cdot & \cdot \\ L'_\beta & L'_P & L'_r & \cdot & \cdot \\ N'_\beta & N'_P & N'_r & \cdot & \cdot \\ \cdot & 1 & \tan \theta & \cdot & \cdot \\ \cdot & \cdot & \sec \theta & \cdot & \cdot \end{Bmatrix} \quad U = \frac{g \cos \theta}{U_0}$$

$$\beta = \frac{v}{U_0}$$

$$L'_B = L_B + I_B \cdot N_B$$

$$I_B = \frac{I_{xz}}{I_{zz}}$$

$$L'_P = L_P + I_B \cdot N_P$$

$$L'_R = L_R + I_B \cdot N_R$$

$$N'_B = N_B + I_A \cdot L_B$$

$$I_A = \frac{I_{xz}}{I_{xx}}$$

$$N'_P = N_P + I_A \cdot L_P$$

$$N'_R = N_R + I_A \cdot L_R$$

$$U = \begin{Bmatrix} \delta_A \\ \delta_R \end{Bmatrix}$$

$$y_{\delta R}^* = \frac{y_{\delta R}}{U}$$

$$B = \begin{Bmatrix} L'_{\delta A} & y_{\delta R}^* \\ N'_{\delta A} & L'_{\delta R} \\ & N'_{\delta R} \\ & \cdot \\ & \cdot \end{Bmatrix}$$

$$\Delta(s) = |SI - A| = 0$$

$$(s^2 + d_1 s^r + d_r s^r + d_k s^r + d_k s) = 0 \rightarrow \text{یک ریشه } s^+ \text{ صفر دارد}$$

$$s(s+e)(s+f)(s^r + r \{ \rho \omega_D + \omega_D^r \}) = 0$$

$$d_1 = -(L'_P + N'_R + \gamma_v)$$

$$d_r = (L'_P N'_R - L'_R N'_P + \gamma_v (L'_P + N'_R) + N'_B)$$

$$d_k = (L'_P N'_P - L'_P N'_B - \frac{g}{U} L'_B - \gamma_v (L'_P N'_R + L'_R N'_P))$$

$$d_k = \frac{g}{U} (N'_R L'_B - L'_R N'_B)$$

مثال - بررسی نوع حرکت عرضی هواپیمای ALPHA در شرایط پروازی 1

$$h = 5.1 \text{ km}$$

$$\gamma_v = -0.14$$

$$U_0 = 47.7 \text{ m/s}$$

$$L'_B = -1.0 \omega$$

$$\alpha_0 = 4.0^\circ$$

$$L'_P = -1.18 \omega$$

$$\gamma_0 = 0$$

$$L'_R = 0.1 \omega$$

$$N'_B = 1.34 \omega$$

$$N'_P = -0.2 \omega$$

$$\Delta(s) = s(s^r + 0.1 \omega s^r + 1.18 \omega s^r + 1.34 \omega s - 1.0 \omega \times 1.0^{-r}) = 0$$

$$s_1 = 0$$

$$\psi = \frac{r}{\cos \theta}$$

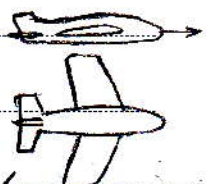
$$s_2 = -0.97 \rightarrow \text{Roll mode (نایبایر)}$$

ریشه منفی

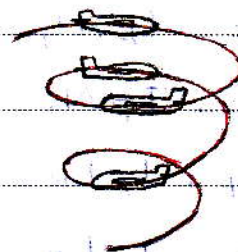
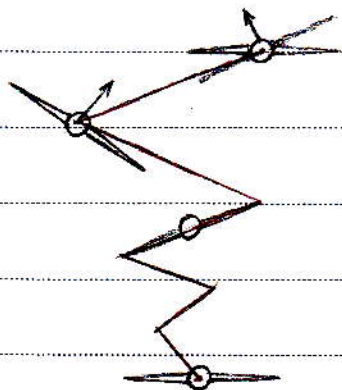
$$s_3 = 0.1 \rightarrow \text{Spiral (نایبایر)}$$

صورت غلت (حرکت نایبایر)

$$s_{4,5} = -0.14 \pm j 1.393 \rightarrow \text{Dutch Roll (حرکت پروازی)}$$

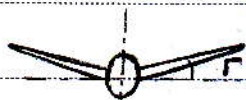


مورد مارپیچی به حرکت نابایدار است. حرکت گهواره ای به نوسانی میرا شونده ϕ, ψ, β



حرکت مارپیچی
طول می کشد
تا انجام گیرد

* برای صورتی هایی که زاویه حقیقی بال دارند حرکت علت آن ها نابایدار است یعنی Roll نبرد به حالت پایدار و اولیه می رسد.



Dihedral $\Gamma > 0$

ولی اگر بال حقیقی باشد نابایدار می شود و به Roll خودش ادامه می دهد.

هر چه مورد انجام می شوند وی مندا چون ثابت زمانی علت بزرگتر است سریع اتفاق می افتد.

حل معادلات حرکت هواپیما

$$\dot{X} = AX$$

۱- حل عمومی معادلات با حل معادلات همگن با ورودی صفر

توصیف گر حرکت طبیعی هواپیما است

در اصطلاح هواوردی حل معادلات همگن به نام «کنترل دسته ثابت» معروف است

$$\begin{cases} \delta_e = \Delta e_0 + \delta_e & \text{معادله کنترلی} \\ \delta_{th} = \Delta th_0 + \delta_{th} & \text{در حالت اول باید ضربه باشند و متغیر} \\ \delta_A = \Delta A_0 + \delta_A \\ \delta_R = \Delta R_0 + \delta_R \end{cases}$$

مقدار ثابت ضربه یا غیر ضربه معادله کنترلی

۲- حل خصوصی: حل معادلات با ورودی خروجی

$$\dot{X} = AX + BU + CV$$

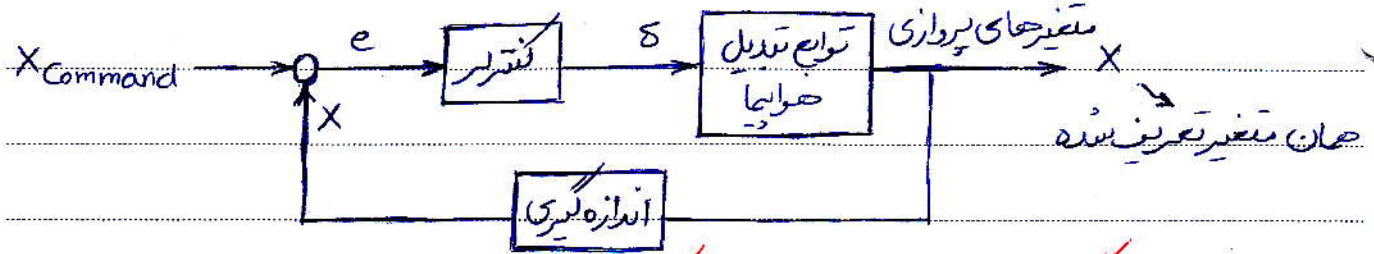
کنترل دسته متغیر ← تغییر توسط جبران یا سیستم کنترل

اعتدال سات کنترلی

توسط جبران برای انجام مانور، δ های متغیر ایجاد می شود

و یا سیستم کنترل اتوماتیک بر اساس سیگنال اندازه گیری شده معادله δ های متغیر را تعیین می کند





۱- حل معادلات همگن روش لاپلاس و ماتریس معکوس:

$$\dot{X} = AX \rightarrow SX(S) - X(0) = AX(S)$$

$$F(t) \rightarrow L(\dot{F}(t)) = L(F(t)) - F(0) = SF(S) - F(0)$$

$$X(S)(SI - A) = X(0)$$

$$X(S) = (SI - A)^{-1} X(0) \rightarrow \text{معادله اولیه متغیرها}$$

* در حرکت طوی.

$$\begin{bmatrix} S - X_u & -X_w & \cdot & g \\ -Z_u & S - Z_w & U_0 & \cdot \\ -M_u & -M_w & M_q & \cdot \\ \cdot & \cdot & \cdot & S \end{bmatrix} \begin{bmatrix} U(S) \\ W(S) \\ q(S) \\ \theta(S) \end{bmatrix} = \begin{bmatrix} U(0) \\ W(0) \\ q(0) \\ \theta(0) \end{bmatrix}$$

$$X(S) = \frac{\text{Adj}(SI - A)}{\det(SI - A)}$$

$$\text{Adj}(SI - A) = \begin{bmatrix} A_{ij} \end{bmatrix}^T$$

$$\Rightarrow X(S) = \frac{\begin{bmatrix} n_{11}(S) & n_{12}(S) & n_{13}(S) & n_{14}(S) \\ n_{21}(S) & \dots & \dots & n_{44}(S) \end{bmatrix}}{s^4 + a_1 s^3 + a_2 s^2 + a_3 s + a_4} \begin{bmatrix} U(0) \\ W(0) \\ q(0) \\ \theta(0) \end{bmatrix}$$

$A_{ij} = (-1)^{i+j} \left| \begin{array}{c} \text{دترمینانی که از حذف سطرها} \\ \text{و ستون } j \text{ حاصل می شود} \end{array} \right|$

$$n_{11}(S) = S(S^3 - (M_q + M_{\dot{w}} U_0 + Z_w)S + (Z_w M_q - M_{\dot{w}} U_0))$$

$$U(S) = \frac{n_{11}(S)U(0) + n_{12}(S)W(0) + n_{13}(S)q(0) + n_{14}(S)\theta(0)}{S^4 + a_1 S^3 + a_2 S^2 + a_3 S + a_4} \quad u(t) = L^{-1}(u(s))$$

مثال - حرکت طبیعی حوالیهای DELTA در شرایط پرواز ۴: $\alpha_0 = 4.9^\circ$ $U_0 = 24 \frac{m}{s}$

$$h = 1220 \quad X_u = -0.03 \quad X_w = 0 \quad Z_u = 0.17$$

$$Z_w = -0.287 \quad M_u = 0.002 \quad M_w = -0.004 \quad M_{\dot{w}} = -0.0005$$

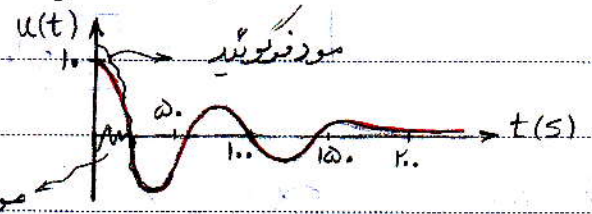
$$M_q = -0.002 \quad U(0) = 10 \frac{m}{s} \quad \text{شرایط اولیه فقط برای سرعت}$$

$$U(S) = \frac{n_{11}(S)U(0)}{\det(SI - A)} \quad U(S) = \frac{S(S^2 + 1.0975S - 1.7773)}{S^4 + 1.0975S^3 + 1.802S^2 + 0.1025S + 0.11} \cdot 10$$

$$u(t) = 1 \cdot (e^{-\gamma \omega t} - 1,92 \times 10^{-3} \cos(1,212 t) + 1,51 \times 10^{-2} \sin(1,212 t)) + e^{-\gamma \omega t} (1,02 \cos(1,74 t) - 0,39 \sin(1,74 t))$$

حرکت نوسانی میرا شونده

حرکت میرا بزرگ کوتاه
 $\gamma \omega t \pm j 1,212$
 میرا بزرگ
 $\gamma \omega t \pm j 1,74$



$\dot{X} = AX$ حرکت آزاد عرضی از معادلات حرکت:

$$S X(S) - X(0) = A X(S)$$

$$X(S) = (SI - A)^{-1} X(0)$$

$$A = \begin{bmatrix} \gamma v & \cdot & -1 & g \\ L'_B & L'_P & L'_r & u_0 \\ N'_B & N'_p & N'_r & \cdot \\ \cdot & \cdot & \cdot & \cdot \\ \cdot & \cdot & \cdot & \cdot \end{bmatrix}$$

$$\begin{bmatrix} \beta(S) \\ P(S) \\ r(S) \\ \phi(S) \\ \psi(S) \end{bmatrix} = \frac{\begin{bmatrix} n_{11}(S) & \dots & n_{15}(S) \\ \vdots & \ddots & \vdots \\ n_{51}(S) & \dots & n_{55}(S) \end{bmatrix} \begin{bmatrix} \beta(0) \\ P(0) \\ r(0) \\ \phi(0) \\ \psi(0) \end{bmatrix}}{S(S^4 + d_1 S^3 + d_2 S^2 + d_3 S + d_4)}$$

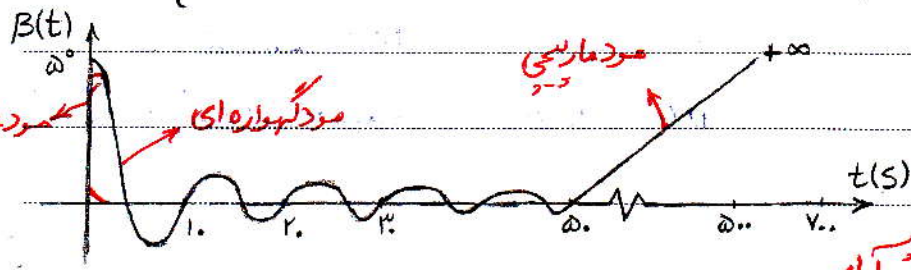
$$\beta(S) = \frac{n_{11}(S)\beta(0) + n_{1r}(S)r(0) + n_{1\phi}(S)\phi(0) + n_{1\psi}(S)\psi(0)}{S(S^4 + d_1 S^3 + d_2 S^2 + d_3 S + d_4)}$$

$$\beta(t) = L^{-1}(\beta(S)) \quad p(S) = \frac{n_{11}(S)\beta(0) + n_{1r}(S)r(0) + n_{1\phi}(S)\phi(0) + n_{1\psi}(S)\psi(0)}{S(S^4 + d_1 S^3 + d_2 S^2 + d_3 S + d_4)}$$

مثال: حواله برای DELTA در شرایط بیروزی 4، فقط $\beta(0) = 5^\circ$

$$\beta(S) = \frac{n_{11}(S)\beta(0)}{\Delta(S)} = \frac{S(-S^4 - 0,939 S^3 - 0,24 S^2)}{S(S^4 + 0,709 S^3 + 0,455 S^2 + 0,22 S - 0,0071)}$$

$$\beta(t) = 5^\circ \left\{ 0,15 e^{-\gamma \omega t} + e^{-\gamma \omega t} [-1,15 \cos(1,414 t) + 0,2 \sin(1,414 t)] - 0,0032 e^{0,0032 t} \right\}$$



* میرا بزرگ (حرکت عرضی):

ϕ, P - میرا بزرگ حاصل

β, ϕ, r - میرا بزرگ (حرکت نوسانی میرا شونده)

r, ψ - میرا بزرگ میرا بزرگ (حرکت نوسانی میرا شونده)

$\sim T_0 = 1,5$
 \downarrow
 $0,44 \pm j 1,414$



$$\dot{X} = AX + BU, \quad X(0) = 0 \quad \text{بررسی حرکت اجباری (حل خصوصی معادلات):}$$

$$X(s) = (sI - A)^{-1} \cdot B \cdot U \quad \text{از روش لاپلاس گیری و ماتریس معکوس:}$$

$$\begin{Bmatrix} u(s) \\ w(s) \\ q(s) \\ \theta(s) \end{Bmatrix} = \frac{\begin{Bmatrix} n_{11}(s) \\ \vdots \\ n_{44}(s) \end{Bmatrix}}{s^4 + a_1 s^3 + a_2 s^2 + a_3 s + a_4} \begin{bmatrix} X_{\delta e} & X_{\delta th} \\ Z_{\delta e} & Z_{\delta th} \\ \bar{M}_{\delta e} & \bar{M}_{\delta th} \end{bmatrix} \begin{Bmatrix} \delta_e(s) \\ \delta_{th}(s) \end{Bmatrix} \quad \text{در مورد حرکت طولی:}$$

$$\frac{u(s)}{\delta_e(s)} = \frac{n_{11}(s) X_{\delta e} + n_{12}(s) Z_{\delta e} + n_{13}(s) \bar{M}_{\delta e}}{s^4 + a_1 s^3 + a_2 s^2 + a_3 s + a_4} \quad \text{تابع تبدیل:}$$

$$\frac{u(s)}{\delta_{th}(s)} = \frac{n_{21}(s) X_{\delta th} + n_{22}(s) Z_{\delta th} + n_{23}(s) \bar{M}_{\delta th}}{s^4 + a_1 s^3 + a_2 s^2 + a_3 s + a_4}$$

$\delta_e = \text{Const.}$ ورودی پله

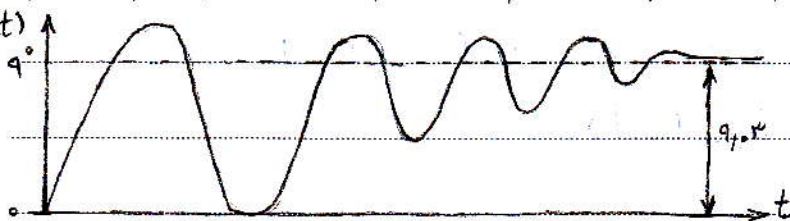
$$u(t) = \mathcal{L}^{-1}(u(s)) = \mathcal{L}^{-1} \left\{ \frac{u(s)}{\delta_e(s)} \delta_e(s) + \frac{u(s)}{\delta_{th}(s)} \delta_{th}(s) \right\} \quad \delta_e = \frac{\text{Const.}}{s}$$

مثال - برای هواپیمای BRAVO در شرایط پروازی 1: $m = 14000 \text{ Kg}, \quad h = 0, \quad U_0 = 134 \frac{m}{s}$

$\alpha = 3.7^\circ$ ورودی $\delta_e = 1^\circ \rightarrow \delta_e(s) = \frac{1}{s}$

$$\frac{u(s)}{\delta_e(s)} = \frac{-0.003s^3 + 0.43s^2 + 0.4s}{s^4 + 1.9s^3 + 2.18s^2 + 0.01\omega s + 0.14} \quad \frac{q(s)}{\delta_e(s)} = \frac{-12.04(s^2 + 0.707s + 0.1)}{s^4 + 1.9s^3 + 2.18s^2 + 0.01\omega s + 0.14}$$

$$q(t) = 9.03 + e^{-0.72t} (-2.72 \cos(1.018t) - 1.4 \sin(1.018t)) - e^{-0.0045t} (0.31 \cos(0.101t) + 4.2 \sin(0.101t))$$



$$X(s) = \frac{\begin{Bmatrix} n_{11}(s) \\ \vdots \\ n_{\omega\omega}(s) \end{Bmatrix}}{s(s^4 + d_1 s^3 + d_2 s^2 + d_3 s + d_4)} \begin{bmatrix} \cdot & Y_{\delta R}^* \\ L'_{\delta A} & L'_{\delta R} \\ N'_{\delta A} & N'_{\delta R} \\ \cdot & \cdot \end{bmatrix} \begin{Bmatrix} \delta_A(s) \\ \delta_R(s) \end{Bmatrix}$$

$$\frac{B(s)}{\delta_A(s)} = \frac{n_{12}(s) L'_{\delta A} + n_{13}(s) N'_{\delta A}}{s(s^4 + d_1 s^3 + d_2 s^2 + d_3 s + d_4)}$$

$$\frac{B(s)}{\delta_R(s)} = \frac{n_{11}(s) Y_{\delta R}^* + n_{12}(s) L'_{\delta R} + n_{13}(s) N'_{\delta R}}{s(s^4 + d_1 s^3 + d_2 s^2 + d_3 s + d_4)}$$

مثال - برای هواپیمای BRAVO در شرایط پروازی 1:

$$\frac{B(s)}{\delta_R(s)} = 0.14 (s^2 + 4.9s^2 + 19.8s - 0.04)$$

$$\frac{B(s)}{\delta_A(s)} = 0.14 (s^2 - 0.2s + 0.47) / (s^4 + 1.9s^3 + 2.18s^2 + 0.01\omega s + 0.14)$$

* دیگر متغیرهای کنترلی حولیا.

$$\begin{cases} \dot{X} = AX + BU \\ y = CX \end{cases} \quad h = CX = C \begin{bmatrix} u \\ w \\ q \\ \theta \end{bmatrix}$$

$$y = C_1 X = C_1 \begin{bmatrix} u \\ w \\ q \\ \theta \end{bmatrix} \quad y = \theta - \alpha = \theta - \frac{w}{V_0} \quad C_1 = \begin{bmatrix} 1 & 0 & 0 & 0 \\ 0 & 1 & 0 & 0 \\ 0 & 0 & 1 & 0 \\ 0 & 0 & 0 & 1 \end{bmatrix}$$

روابط ستاب های حرکت:

$$F_x = m(\ddot{u} + QW - VR)$$

$$F_y = m(\ddot{v} + UR - PW)$$

$$F_z = m(\ddot{w} + VP - VQ)$$

ستاب طولی $a_{xcg} = \ddot{u}$
 ستاب جانبی برای معادلات $a_{ycg} = a_y = \ddot{v} + U_0 r$
 اعتماسی $a_z = \ddot{w} - U_0 q = a_{zcg}$

بمبنای ستاب $U = U_0 + u$

در حرکت سیر $a_z = (\ddot{w} + v_x P - (U_0 + u)q) = (\ddot{w} + v_x P - U_0 q - uq)$

ستاب جانبی $\begin{cases} a_{xb} = a_{xcg} + x_b q^r \\ a_{zb} = a_{zcg} + y_b q^r \end{cases}$

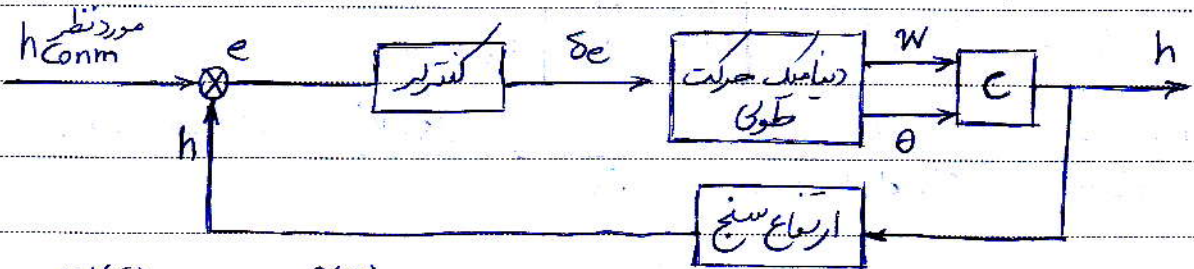


$$\ddot{h}_{cg} = -a_{zcg}$$

$$h_{cg} = -\int a_{zcg} = -(\dot{w} - U_0 \theta) = U_0 \theta - \dot{w} = U_0 (\theta - \alpha) = U_0 \delta$$

$$h_{cg} = h_1 + \int (U_0 \theta - \dot{w}) dt = h_1 + U_0 \int \delta dt$$

لا یلاس $h_{cg} = U_0 \theta - \dot{w}$ $\xrightarrow[\text{وردی } \frac{1}{s}]{\text{لا یلاس}}$ $h_{cg} = \frac{U_0}{s} \theta - \frac{w}{s}$ $C = \begin{bmatrix} -1 & 0 & 0 & 0 \\ 0 & 1 & 0 & 0 \\ 0 & 0 & 1 & 0 \\ 0 & 0 & 0 & 1 \end{bmatrix}$



$$\frac{W(s)}{\delta_e(s)}, \quad \frac{\theta(s)}{\delta_e(s)}$$

تابع تبدیل مورد نیاز برای کنترل ارتفاع

سیستم کنترل زاویه فلز θ :

$$\dot{X} = AX + BU$$

$$y = \theta \Rightarrow$$

$$y = CX$$

$$C = [0 \dots 0 \ 1]$$

$$\theta = [0 \dots 0 \ 1] \begin{bmatrix} u \\ w \\ q \\ \theta \end{bmatrix}$$

توابع تبدیل تغییرات حرکت های طولی و عرضی :

1- تغییرات حرکت طولی :

1-1- تغییر حرکت پروردیک کوتاه :

با توجه به اینکه سرعت u در زمان های کوتاه تغییرات زیادی ندارد و عملاً نمود حرکت فلوئید برای بدست آوردن تغییر پروردیک کوتاه آن را ثابت در نظر می گیریم.

$$\begin{cases} \dot{w} = Z_w w + U_0 q + Z_{\delta_e} \delta_e & (\text{Throttle برای کنترل سرعت به کار می رود}) \\ \dot{q} = M_w w + M_{\dot{w}} \dot{w} + M_q q + M_{\delta_e} \delta_e \end{cases}$$

$$\begin{cases} \dot{w} \\ \dot{q} \end{cases} = \begin{bmatrix} Z_w & U_0 \\ \bar{M}_w & \bar{M}_q \end{bmatrix} \begin{bmatrix} w \\ q \end{bmatrix} + \begin{bmatrix} Z_{\delta_e} \\ \bar{M}_{\delta_e} \end{bmatrix} \delta_e$$

توابع تبدیل :

$$\frac{W(s)}{\delta_e(s)} = \frac{(U_0 M_{\delta_e} - M_q Z_{\delta_e}) \left\{ 1 + \frac{Z_{\delta_e}}{U_0 M_{\delta_e} - M_q Z_{\delta_e}} s \right\}}{\Delta_{sp}(s)}$$

$$\Delta_{sp}(s) = s^2 - (Z_w + M_q + M_{\dot{w}} U_0) s + (Z_w M_q - U_0 M_w)$$

$$W_{sp} = \sqrt{Z_w M_q - U_0 M_w}$$

$$\zeta_{sp} W_{sp} = - (Z_w + M_q + M_{\dot{w}} U_0)$$

$$\zeta_{sp} = \frac{- (Z_w + M_q + M_{\dot{w}} U_0)}{2 \sqrt{Z_w M_q - U_0 M_w}}$$

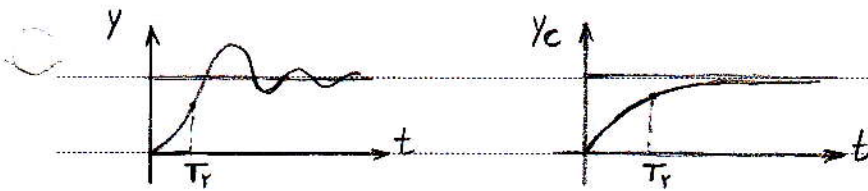
بیشتر متغیر حرکت پروردیک کوتاه است

$$\frac{q(s)}{\delta_e(s)} = \frac{(Z_{\delta_e} M_w - M_{\delta_e} Z_w) \left\{ 1 + \frac{M_{\delta_e} + Z_{\delta_e} M_{\dot{w}}}{Z_{\delta_e} M_w - M_{\delta_e} Z_w} s \right\}}{\Delta_{sp}(s)} = \frac{K_q (1 + s T_r)}{\Delta_{sp}(s)}$$

$$K_q = (Z_{\delta_e} M_w - M_{\delta_e} Z_w)$$

$$T_r = \frac{M_{\delta_e} + Z_{\delta_e} M_{\dot{w}}}{Z_{\delta_e} M_w - M_{\delta_e} Z_w}$$

ثابت زمانی هواپیما



T_r زمانی است که دامنه خروجی به ۴۰٪ مقدار نهایی خود برسد.

معمولاً: $Z_{se} M_w \ll M_{se} Z_w$, $Z_{se} M_w \gg Z_{se} M_w$ $\leftarrow M_{se}$

$$T_r \cong \frac{1}{-Z_w}$$

هواپیمای	B747	JetStar
Z_w	-۰.۷۵۱۲	-۱.۰۱
واقعی T_r ثانیه	۱.۰۴	۱.۰۵۳
$\frac{-1}{Z_w}$	۱.۹۵	۰.۹۹

۱-۲- تعیین حرکت فولتید.

در زمان های طولانی که حرکت بر روی یک کوتاه تمام شده، عملاً مقدار q ثابت خواهد بود و همچنین می توان از M_w به خاطر کوچکی صرف نظر کرد.

$$\begin{cases} \dot{u} = X_u \cdot u + X_w \cdot w - g\theta + X_{\delta e} \cdot \delta e + X_{\delta th} \cdot \delta th \\ \dot{w} = Z_u \cdot u + Z_w \cdot w + U \cdot q + Z_{\delta e} \cdot \delta e + Z_{\delta th} \cdot \delta th \\ \dot{\theta} = M_u \cdot u + M_w \cdot w + M_{\delta e} \cdot \delta e + M_{\delta th} \cdot \delta th \end{cases}$$

$$\frac{u(s)}{\delta e(s)} = \frac{S [X_w U \cdot M_{\delta e} - g M_{\delta e} - U \cdot M_w X_{\delta e}] + g (M_{\delta e} Z_w - M_w Z_{\delta e})}{-U \cdot M_w \left\{ S^2 \left[X_u + \frac{M_u (U \cdot X_w - g)}{U \cdot M_w} \right] S - \frac{g}{U} \left[Z_u - \frac{M_u Z_w}{M_w} \right] \right\}}$$

$$W_{ph} = \sqrt{\frac{-g}{U} \left(Z_u - \frac{M_u Z_w}{M_w} \right)}$$

$$\Delta_{ph}(s) = S^2 + r \cdot \xi_{ph} W_{ph} S + W_{ph}^2$$

$$\xi_{ph} = \frac{1}{r W_{ph}} \left\{ X_u - \frac{M_u (U \cdot X_w - g)}{U \cdot M_w} \right\}$$

$M_u \approx$ معجولاً

تقریب W_{Ph}

$$W_{Ph}^r = \frac{-g}{U} Z_u \quad \text{با توجه به اینکه} \rightarrow Z_u = -\frac{PU.S}{r_m} (C_{Lu} + r_{CL})$$

تغییرات ضریب برآیند به سرعت طولی حوالیها

در پرواز سیر:

$$C_{Lu} \approx W_{Ph}^r = \frac{-g}{U} Z_u = \frac{-g}{U} \frac{-PU.S}{m} C_L = \frac{-g}{U} \frac{-PU.S}{m} \times \frac{r_m g}{PU.S} = \frac{r g^r}{U^r}$$

$$C_L = C_{L_0} + \frac{\partial C_L}{\partial \alpha} \cdot \alpha \approx C_L$$

$$C_L = \frac{r_m g}{PU.S}$$

$$W_{Ph}^r = \frac{+r g^r}{U^r}$$

$$\Rightarrow W_{Ph} \approx \sqrt{r} \frac{g}{U} \rightarrow \text{سرعت پرواز (سرعت تعادلی)}$$

$$Z_u = \frac{-r g}{U}$$

$M_u \approx$

تقریب Ph

$$r \int_{Ph} W_{Ph} = -X_u \quad X_u = -\frac{PU.S}{r_m} (C_{Du} + r_{CD})$$

در پرواز سیر:

$$C_{Du} \approx \int_{Ph} = \frac{1}{\sqrt{r} \frac{g}{U}} \times \frac{-PU.S C_D}{m} = \frac{\frac{1}{r} PU.S C_D}{\sqrt{r} \cdot g \cdot m}$$

لینت L

$$\int_{Ph} \approx \frac{1}{\sqrt{r} \left(\frac{L}{D}\right)} \rightarrow \text{بازده آیرودینامیکی}$$

۲- تقریبات حرکت عرضی:

حرکت سمتی کوپل جانبی سمتی حرکت سمتی

معادلات کل حرکت عرضی:

$$\begin{Bmatrix} \dot{r} \\ \dot{\beta} \\ \dot{p} \\ \dot{\phi} \end{Bmatrix} = \begin{bmatrix} N'_r & N'_\beta & N'_p & \cdot \\ -1 & Y_v & \cdot & g/U \\ L'_r & L'_\beta & L'_p & \cdot \\ \cdot & \cdot & 1 & \cdot \end{bmatrix} \begin{Bmatrix} r \\ \beta \\ p \\ \phi \end{Bmatrix} + \begin{bmatrix} N'_{\delta R} & N'_{\delta A} \\ Y'_{\delta R} & \cdot \\ L'_{\delta R} & L'_{\delta A} \\ \cdot & \cdot \end{bmatrix} \begin{Bmatrix} \delta R \\ \delta A \end{Bmatrix}$$

حرکت جانبی کوپل سمتی-جانبی

حرکت عرضی = حرکت سمتی-جانبی

این ۴ متغیر ربطی به ψ ندارند و از این جا ψ

Lateral Directional

درست می آید

موردهای عرضی } علت خالص
 حرکت گهواره‌ای
 مورد بررسی

تقریب اول - تقریب حرکت گهواره‌ای :

در زمان‌های کوتاه و متوسط از معادله L_r ، N_p و ϕ صرف نظر می‌کنیم

$$\dot{\beta} = \gamma_v \beta - r + \gamma_\delta^* \delta$$

$$\begin{cases} \dot{\beta} = \gamma_v \beta - r + \gamma_\delta^* \delta \\ \dot{P} = L'_p \beta + L'_p P + L'_\delta \delta \\ \dot{r} = N'_p \beta + N'_r r + N'_\delta \delta \end{cases}$$

تقریب ۳ درجه آزادی :

پس از حل معادلات :

$$\frac{\beta(s)}{\delta_R(s)} = \frac{\gamma_\delta^* s^2 - [(L'_p + N'_r) \gamma_\delta^* + N'_\delta] s + (L'_p N'_r \gamma_\delta^* + L'_p N'_\delta)}{s^2 - (\gamma_v + L'_p + N'_r) s + [\gamma_v (L'_p + N'_r) + L'_p N'_r + N'_\delta] s - L'_p (N'_p + N'_r \gamma_v)}$$

مثال برای جوابی‌های جاری در شرایط بیروزی ۴، توابع تبدیل کامل و تقریبی را بدست می‌آوریم :

$$h = 12.0 \text{ m}, \quad U_0 = 25.0 \frac{m}{s}, \quad \alpha_0 = 44^\circ, \quad m = 29. T$$

از معادلات کامل :

$$\frac{\beta(s)}{\delta_R(s)} = \frac{0.12 (s - 0.12)(s + 0.22)(s + 4.1)}{(s - 0.12)(s + 0.22)(s^2 + 0.91s + 0.254)}$$

$\left\{ \begin{array}{l} s = 0.12 \text{ ریشه مورد بررسی} \\ s = -0.22 \text{ ریشه مورد علت} \\ s = -0.44 \pm 0.81j \text{ ریشه های مورد گهواره‌ای} \end{array} \right.$

$$W_D = 0.81, \quad \zeta_D = 0.227$$

$$P(s) = \frac{(s + 1.192)(s - 2.324)}{\delta_R(s)}$$

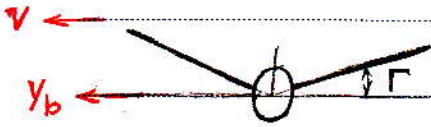
$$r(s) = \frac{-0.48 (s + 0.227)(s^2 - 0.44s + 0.254)}{\delta_R(s)}$$

$$P(s) = \frac{0.14 (s^2 - 0.25s + 0.248)}{\delta_A(s)}$$

$$\frac{B(s)}{\delta_R(s)} = \frac{0.12(s+0.4)(s+1.14)}{(s+0.504)(s^2+0.135s+0.798)}$$

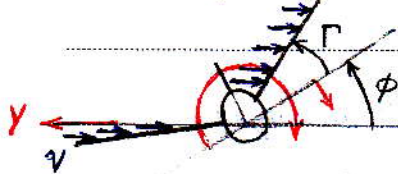
از تقریب: ریشه‌های خاص $s = -0.504$
 $s = -0.47 \pm 0.822j$

$$\frac{P(s)}{\delta_A(s)} = \frac{0.14(s^2+0.193s+0.473)}{s}$$



Dihedral Angle زاویه هفتی بال

وجود زاویه هفتی باعث پایداری شدن حرکت غلت حول محور $\phi = 0$ می‌شود. $\beta > 0$



به سبب $L_p \cdot \beta$ در Dihedral مؤثر است که زاویه سمت β را به α تبدیل می‌کند

و در پایداری مورد نامرئی مؤثر است و ای رضایی زیاد شود. ناپایداری می‌شود $\beta > 0$ $\phi \neq 0$

Dutch Roll Damping

تقریب دو درجه آزادی

ژانپ برای استفاده در سیستم میرا کننده نوسانات سمتی مورد استفاده می‌باشد. Yaw Damper

$$\dot{\beta} = Y_v \beta - r + Y_{\delta R}^* \delta_R$$

$$\dot{r} = N'_\beta \beta + N'_r r - N'_{\delta R} \delta_R$$

$$W_D = \sqrt{N'_\beta + Y_v N'_r}$$

$$\frac{B(s)}{\delta_R(s)} = \frac{(s - N'_r) Y_{\delta R}^* - N'_{\delta R}}{s^2 - (Y_v + N'_r) s + (N'_\beta + Y_v N'_r)}$$

$$\zeta_D = \frac{-(N'_r + Y_v)}{2W_D}$$

$$W_D = 0.781 \quad \zeta_D = 0.111 \quad \frac{r(s)}{\delta_R(s)} = \frac{(s - Y_v) N'_{\delta R} + Y_{\delta R}^* N'_\beta}{s}$$

برای جاری

$$\frac{B(s)}{\delta_R(s)} = \frac{0.12(s+0.11s)}{s^2+0.173s+0.71}$$

$$\frac{r(s)}{\delta_R(s)} = \frac{-0.4s(s+0.4)}{s}$$

تقریب درجه ۲

* تقریب یک درجه آزادی عرضی

$$\begin{bmatrix} \dot{P} \\ \dot{\phi} \end{bmatrix} = \begin{bmatrix} L'_p & \cdot \\ \cdot & \cdot \end{bmatrix} \begin{bmatrix} P \\ \phi \end{bmatrix} + \begin{bmatrix} L'_{\delta A} \\ \cdot \end{bmatrix} \delta_A$$

$$\Delta(s) = s(s - L'_p) = 0$$

$$s = -L'_p$$

$$T = \frac{1}{-(L'_p)}$$

ثابت زمانی حرکت

$$\frac{P(s)}{\delta_A(s)} = \frac{L'_{\delta A}}{s - L'_p}$$

تعریف یک درجه، برای سیستم کنترل زاویه غلت و سیستم میراکننده حرکت غلت استفاده می شود

Roll Damper

Roll Control

$$\frac{P(s)}{\delta_A(s)} = \frac{0.114}{s + 0.147}$$

تعریف درجه ۱

roll - spiral

تعریف غلت مارپیچی

در مانور دورزدن Turn مقدار زاویه لغزش β به دلیل کنترل شدن ناچیز است.

$$\dot{P} = L'_p \cdot P + L'_r \cdot r + L'_{\delta R} \cdot \delta_R + L'_{\delta A} \cdot \delta_A$$

فرآیند دورزدن

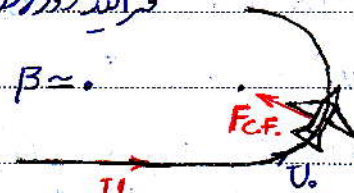
$$\dot{r} = N'_p \cdot P + N'_r \cdot r + N'_{\delta R} \cdot \delta_R + N'_{\delta A} \cdot \delta_A$$

$\beta \approx 0$

$$\frac{P(s)}{\delta_R(s)} = \frac{L'_{\delta R}(s - N'_r) + L'_r N'_{\delta R}}{s^2 - (N'_r + L'_p)s + L'_p N'_r - N'_p L'_r}$$

فرآیند دورزدن

$\beta \approx 0$



باید رابطه غلت $s_1 = -e$ $e > 0$
 رابطه مارپیچی $s_2 = f$ $f > 0$
 نابینا

$$F_{cf} = mrw^2 = mR\dot{\psi}^2$$

$$\frac{P(s)}{\delta_A(s)} = \frac{L'_{\delta A}(s - N'_r) + L'_r N'_{\delta A}}{s^2 - (N'_r + L'_p)s + L'_p N'_r - N'_p L'_r}$$

$$\frac{r(s)}{\delta_R(s)} = \frac{N'_{\delta R}(s - L'_p) + L'_{\delta R} \cdot N'_p}{s^2 - (N'_r + L'_p)s + L'_p N'_r - N'_p L'_r}$$

برای جوابهای جاری:

$$\frac{P(s)}{\delta_R(s)} = \frac{0.115(s - 0.113)}{(s - 0.115)(s + 0.143)}$$

$$\frac{P(s)}{\delta_A(s)} = \frac{0.114(s + 0.147)}{(s - 0.115)(s + 0.143)}$$



فصل ۲، تعادل هواپیمای Trim
(مفضل سوم کتاب یادگیری پرواز کتاب دکتر صدراپی)

تعریف تعادل، برقراری شرایط دائمی پرواز هواپیمای که به نام بالانس هواپیمای نیز معروف است.
(با فراهم کردن شرایط نامی برای هواپیمای)
Trim Condition

دریم های مختلف حرکت دائمی هواپیمای }
۱- پرواز سیر Cruise
۲- افرایش ارتفاع (صعود دائمی)
۳- دور زدن Turn

* شرایط تعادل توسط خلبان یا کامپیوتر پرواز به هواپیمای داده می شود
* وظیفه سیستم های کنترل پرواز برقراری یادگیری هواپیمای حول این شرایط تعادل می باشد

نمونه های تعادل : ۱- پرواز سیر
 $U = U_0 = \text{Const}$ سرعت تعادلی
 $h = h_0 = \text{Const}$ ارتفاع پرواز
زاویه تراز تعادلی $\theta = \theta_0 = \theta_{\text{trim}}$ زاویه حمله تعادلی $\alpha = \alpha_0 = \alpha_{\text{trim}}$
زاویه تقاطعی سکان افقی $\delta_e = \delta_{e_0} = \delta_{e_{\text{trim}}}$
زاویه دریچه سوخت در حالت تعادل $\delta_{th} = \delta_{th_0} = \delta_{th_{\text{trim}}}$

۲- صعود دائمی : به جز موارد فوق $w = w_0$
۳- مانور دور زدن : Turn
در حالت دائمی برای هواپیمای دور زدن به صورت سرعت ثابت و نرخ چرخش ثابت در ارتفاع ثابت انجام می شود.

دور زدن بدون لغزش Coordinated Turn
در تعریف Spiral و roll $\beta = 0$ ($\beta = 0$)

شرایط معادل در دوزدن: $U = U_0$ $\phi_0 = \tan^{-1} \left(\frac{U_0^2}{R \cdot g} \right)$

$h = h_{const}$

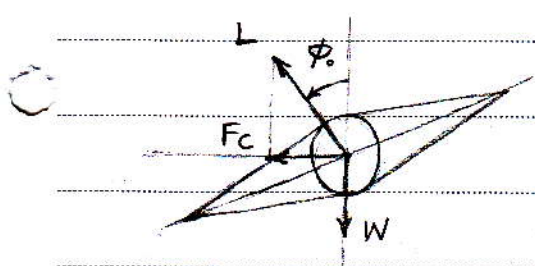
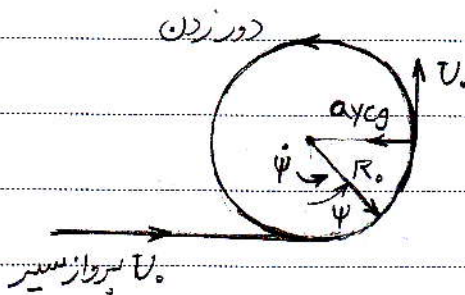
$R = R_0$ شعاع دوزدن

$\dot{\psi} = \dot{\psi}_0$ نرخ ثابت دوزدن

$\phi = \phi_0$ زاویه غلت معاضی

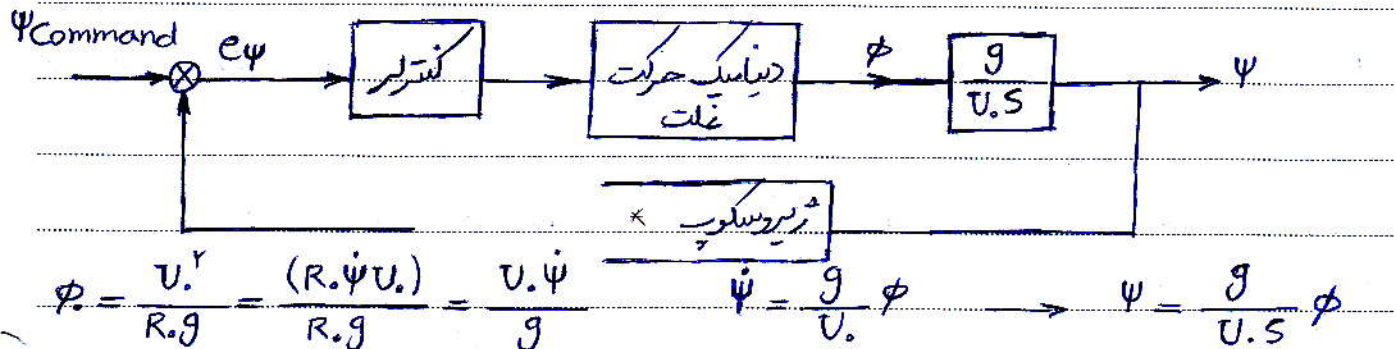
$U_0 = R \dot{\psi} \Rightarrow a_{ycg} = \frac{U_0^2}{R}$

$a_{ycg} = R \cdot \dot{\psi}_0^2$



$F_c = L \sin \phi_0 \cdot m g$
 $m \frac{U_0^2}{R_0} = \frac{W}{\cos \phi_0} \sin \phi_0$

$\Rightarrow \tan \phi_0 = \frac{U_0^2}{R_0 \cdot g} \Rightarrow \phi_0 = \tan^{-1} \left(\frac{U_0^2}{R_0 \cdot g} \right)$



$\sum F_x = 0$

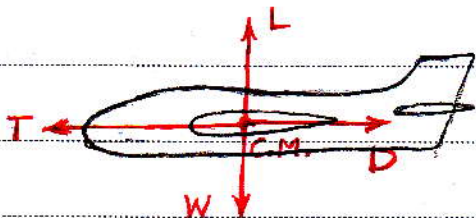
$\sum F_z = 0$

$\sum M = 0$

* تعادل طولی هواپیمای ← تعادل نیروها

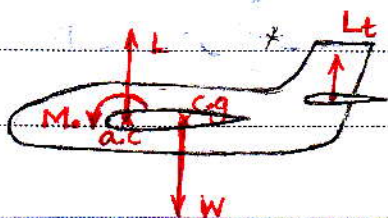
← تعادل گشتاورها

تعادل طولی = تعادل زاویه ای طولی



$T_0 = D_0$

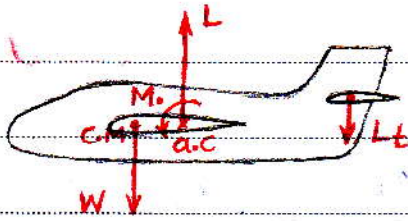
$L_0 = W$



* بالانس کردن طولی هواپیمای

حالت ایستاده آل

$\sum M = 0 \quad L_{WB} + L_t = W$

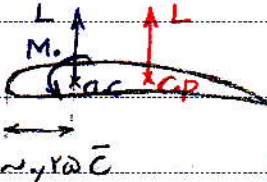


$$L_{WB} - L_t = W$$

* مرکز آیرودینامیکی = Aerodynamic Center = a.c

محل از بال است که اگر نیروی برآ به آن منتقل گردد گشتاور ثابت M_o نیز لحاظ می گردد

* مرکز فشار = Pressure Center = P.C

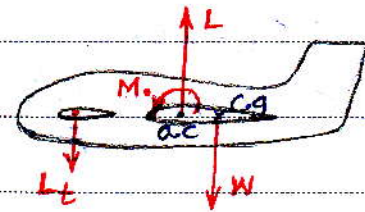
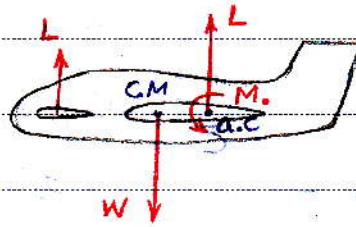


محل اعمال برآیند نیروهای بال و بدنه

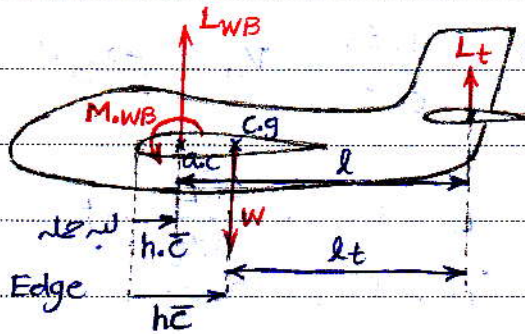
M_o به تغییرات زاویه حمله بستگی ندارد

$$L = L_o + \frac{\partial C_L}{\partial \alpha} \alpha$$

$$M = M_o$$



* شرایط گشتاور طولی (نقش دم در برقراری تعادل طولی)



$$h_o, h < 1$$

\bar{c} وتر متوسط آیرودینامیکی

Leading Edge

تعادل گشتاور طولی

$$\sum M = 0 \quad M_{o,WB} + L_{WB} (h\bar{c} - h_o\bar{c}) - L_t \cdot l_t = 0$$

$$M_{o,WB} = \frac{1}{2} \rho V^2 S \bar{c} C_{M_{o,WB}}$$

$C_{M_{o,WB}}$ ضریب گشتاور بال و بدنه

$$L_{WB} = \frac{1}{2} \rho V^2 S C_{L_{WB}} \rightarrow \text{ضریب برآی بال و بدنه}$$

$$L_t = \frac{1}{2} \rho V^2 S_t C_{L_t} = \frac{1}{2} \rho V^2 S \frac{S_t}{S} C_{L_t}$$

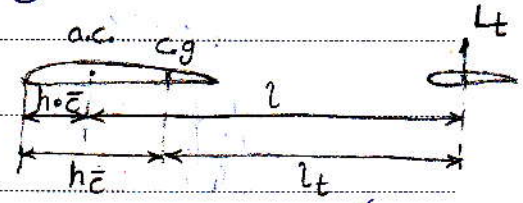
$$\text{جابجایی} \Rightarrow \frac{1}{2} \rho V^2 S \bar{c} C_{M_{o,WB}} + \frac{1}{2} \rho V^2 S C_{L_{WB}} (h\bar{c} - h_o\bar{c}) - \frac{1}{2} \rho V^2 S \frac{S_t}{S} C_{L_t} l_t = 0$$

$$C_{M_{o,WB}} + C_{L_{WB}} (h - h_o) - C_{L_t} \frac{S_t l_t}{S \bar{c}} = 0$$

معادله تعادل طولی

$$C_{m \cdot WB} + C_{LWB} (h - h_0) - C_{Lt} \frac{S_t \cdot l_t}{\bar{c} \cdot S} = 0$$

$$h_0 \bar{c} + l = h \bar{c} + l \Rightarrow \frac{l_t}{\bar{c}} = \frac{l}{\bar{c}} (h - h_0)$$



$$L = L_{WB} + L_t = W$$

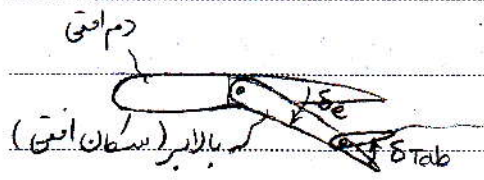
$$L = \frac{1}{2} \rho V S C_L \Rightarrow C_L = C_{LWB} + C_{Lt} \times \frac{S_t}{S}$$

بعد از جانگذاری در معادله تعادل طولی

$$C_{m \cdot WB} + (C_{LWB} + C_L + \frac{S_t}{S})(h - h_0) - \frac{l \cdot S_t}{\bar{c} \cdot S} C_{Lt} = 0$$

$$C_{m \cdot WB} + C_L (h - h_0) - \frac{l \cdot S_t}{\bar{c} \cdot S} C_{Lt} = 0$$

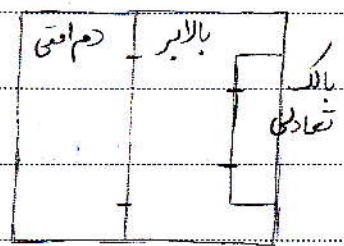
معادله بدون بعد تعادل طولی



بالک تعادل
Trim tab

$$\frac{l \cdot S_t}{\bar{c} \cdot S} = V_H$$

ضریب حجمی دم

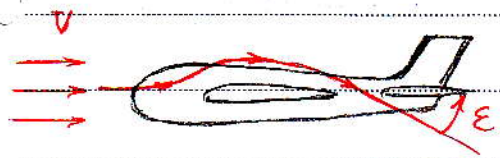


$$C_{Lt} = C_{Lt_0} + \frac{\partial C_{Lt}}{\partial \delta_t} \cdot \delta_t$$

$$C_{Lt} = C_{Lt_0} + a_t \delta_t$$

$$C_{Lt} = C_{Lt_0} + a_t \delta_t + a_r \delta_e + a_r \delta_{tab}$$

$$a_r = \frac{\partial C_{Lt}}{\partial \delta_e}, \quad a_r = \frac{\partial C_{Lt}}{\partial \delta_{tab}}$$



جریان هوا در اثر گذر از روی بال در زاویه دم تغییر جهت می دهد و به سمت پایین منحرف می شود. این پدیده بنام فروزش Down wash معروف است. زاویه انحراف جریان E.

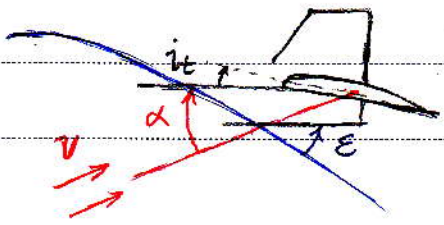
$$E = E_0 + \frac{\partial E}{\partial \alpha} \cdot \alpha$$

$$E_0 = \frac{2 C_{LW}}{\pi A R W}$$

$$\frac{\partial E}{\partial \alpha} = \frac{2 a_w}{\pi A R W}$$

$$a_w = \frac{\partial C_{LW}}{\partial \alpha}$$

epsilon_0 : زاویه نصب دم افقی نسبت به محور طولی هواپیما



alpha : زاویه حمله هواپیما



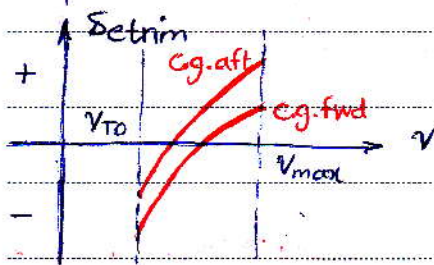
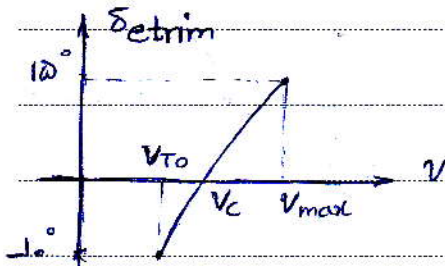
$$\alpha_t = \alpha + i_t - \epsilon$$

حالتی در رابطه C_{Lt}

$$\rightarrow C_{Lt} = C_{Lt_0} + a_1 \alpha (1 - \frac{\partial \epsilon}{\partial \alpha}) + a_2 (i_t - \epsilon_0) + a_3 \delta_e + a_4 \delta_{tab}$$

* منحنی تعادل Trim Curve منظور منحنی تغییرات δ_e بر حسب تغییرات سرعت هواپیما می باشد.

برای هر سرعت وجود دارد δ_{trim}



* منحنی تعادل δ_e برای حلقه‌ترین محل مرکز جرم h.fwd

تا عقب ترین محل آن h.aft ترسیم می شود.

پایداری حرکت هواپیما Aircraft stability

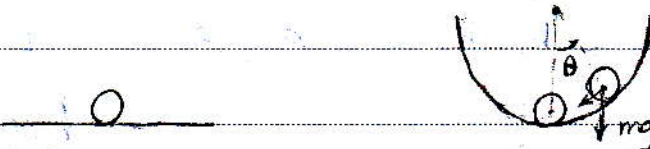
مطالب بخش ۴ از فصل ۴ کتاب آمای دکتر صدراپی (پایدار و کنترل هواپیما)

(state)

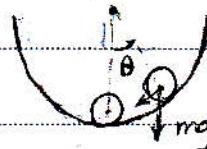
تعریف پایداری: پایداری دینامیک سیستم می باشد در بازگشت به حالت تعادل پس از ایجاد اختلال کوچک.

* تعادل: تعادل یا حالت تعادل (نقطه تعادل)، شرایطی می باشد که نتواند دائمی بماند.

نخونه‌های از حالت تعادل.

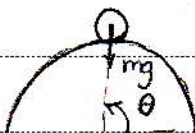


حالت تعادل بی ثبات (خستگی)



حالت تعادل پایدار $\theta = 0$

سمت هواپیما ψ



← ارتفاع پرواز

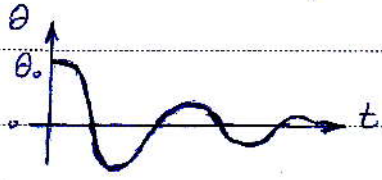
سرعت پرواز v_1 $\theta = \pi$

حالت تعادل ناپایدار

انواع صنایع بیداری جویها: (جنبه بیداری) }
 ۱- بیداری استاتیکی
 ۲- بیداری دینامیکی

۱- بیداری استاتیکی: تحلیل ذاتی جویها در بازگشت به حالت تعادل پس از اعمال یک اغتشاش کوچک
 بیداری استاتیکی با بررسی مستقیم بیداری مشخص می‌شود.
 بیداری استاتیکی تحلیل به ایجاد نیروهای مخالف کننده با اغتشاش می‌باشد.

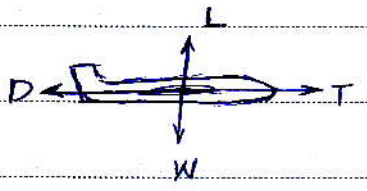
۲- بیداری دینامیکی: عبارت است از قابلیت تحصیل حالت تعادل (بازگشت به حالت تعادل) در طی زمان
 صنی بیداری یک فرآیند است.



انواع صدای حرکتی از جنبه بیداری: ۱- بیداری طولی
 ۲- بیداری عرضی
 ۳- حرکت جانبی
 ۴- حرکت عمودی

بیداری استاتیکی جویها: *
 * بیداری استاتیکی حرکت جوی
 بیداری ارتفاع سروراز
 بیداری سرعت سروراز
 بیداری وضعی زاویه θ به خاطر کششاور جانبی
 بیداری کششاور از سرعت U

* بیداری ارتفاع (سروراز سیر):



$T - D = 0$
 $L - W = 0$
 $\sum M = 0$

معادله سروراز سیر:

اگر سروراز دائمی در ارتفاع h_0 :
 $L = \frac{1}{2} \rho v^2 S C_L$

تغییر ارتفاع $\pm \Delta h$:
 $\Delta h > 0 \rightarrow h_1 > h_0 \rightarrow \rho_1 < \rho_0 \rightarrow L < W$
 شتاب سمت پایین
 $W < 0$ (سرعت قائم)
 ΔZ یا $\Delta F_z > 0$ (اغتشاش در جهت Z)
 $\frac{\Delta F_z}{\Delta W} < 0$
 $\Rightarrow h \rightarrow h_0$

$\frac{\partial F_z}{\partial W} < 0 \Rightarrow Z_w < 0$



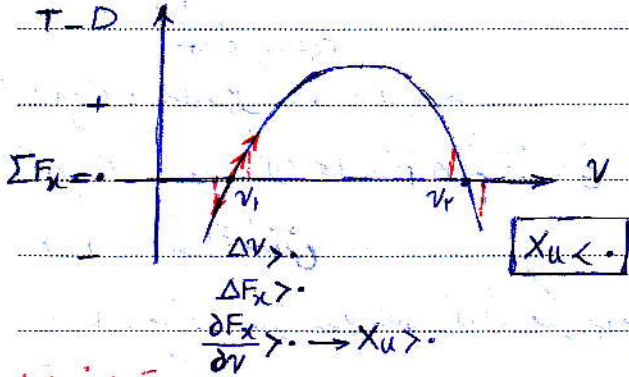
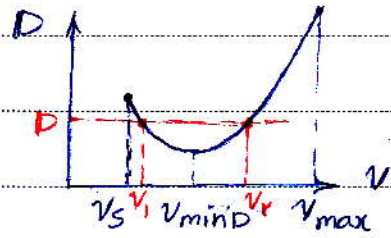
* پایداری سرعت طوی (U):

$$T - D = 0$$

شرایط تعادل

$$\Delta T - \Delta D = \max$$

معادله اعتدالی

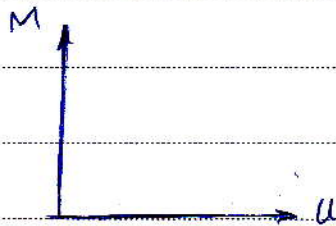


ارتقاع ثابته

شرط پایداری استاتیکی
سرعت طوی

سرعت v_1 سرعت تعادلی پایدار

* پایداری سرعت طوی از گسترده M_u

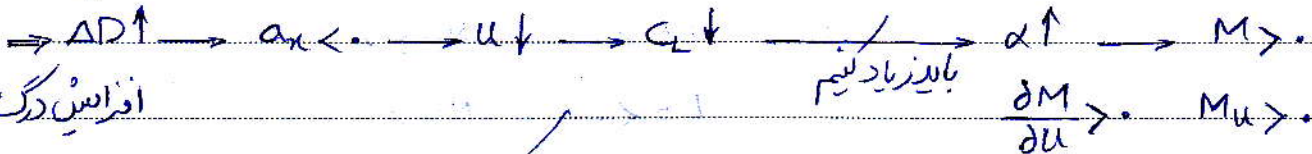


$$L = \frac{1}{2} \rho U^2 S C_L$$

افزایش لغت باعث

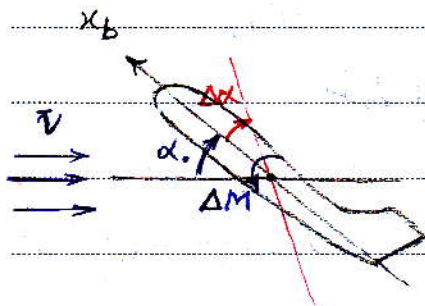
درک سرعت افزایش

$\Delta L > 0$



$M_u < 0$ -> مودناک

* پایداری استاتیکی وضعی طوی خوابیا: M_w یا M_α



for $\Delta \alpha > 0$, $\Delta M < 0$, $\frac{\Delta M}{\Delta \alpha} < 0$
جهت پایداری استاتیکی طوی $M_\alpha < 0$, $\frac{\partial M}{\partial \alpha} < 0$

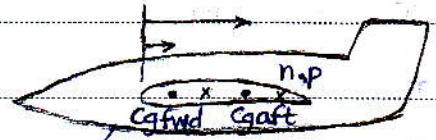
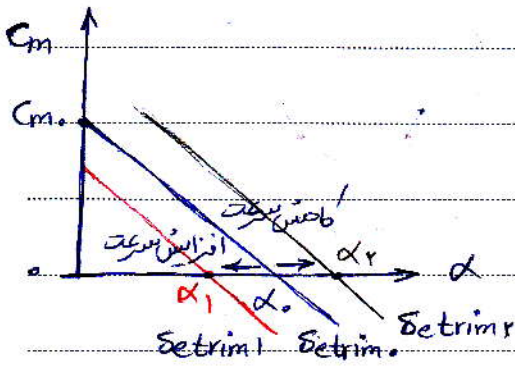
$$M = \frac{1}{2} \rho v^2 S \bar{c} C_m$$

$$C_m = C_{m_0} + \frac{\partial C_m}{\partial \alpha} \cdot \alpha = C_{m_0} + C_{m\alpha} \cdot \alpha$$

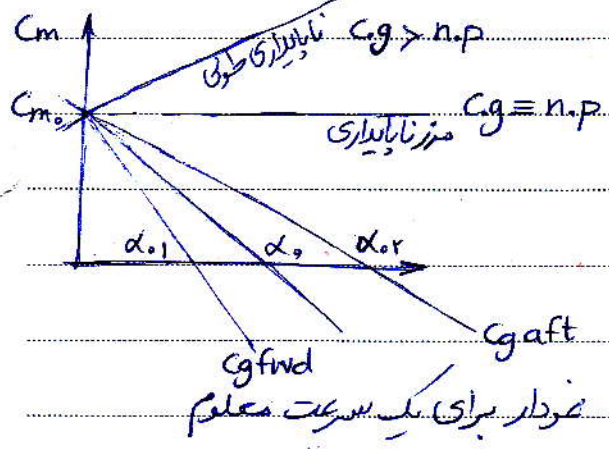
$C_{m\alpha} < 0$ ضریب پایداری طوی

α زاویه حمله تعادلی در سرعت معلوم

α_p و α_r زاویه‌های عمده تعادل برای سرعت‌های بیشتر و کمتر از سرعت مربوط به α_0



C_{gfwd} : جلوترین محل مرکز جرم
 C_{gaft} : عقب‌ترین محل مرکز جرم
 $n.p.$: نقطه خنثی



$n.p.$: نقطه خنثی جایی است که اگر مرکز جرم در آن جا قرار گیرد، $C_{max} = 0$ شده و با تغییرات زاویه عمده C_m تغییر نمی‌کند.

مردار برای یک سرعت معلوم $C_m = C_{m0} + C_{m\alpha} \cdot \alpha$

معیارهای پایداری استاتیکی عرضی

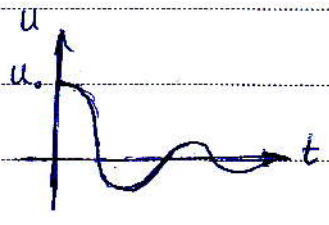
- $Y_v < 0$ $Y_B < 0$
- $L_B < 0$ $N_B > 0$
- $L_p < 0$ $N_p < 0$
- $L_r < 0$ $N_r < 0$

$\Delta\beta > 0$ $\Delta N > 0$ $\frac{\Delta N}{\Delta\beta} > 0$ $\frac{\partial N}{\partial\beta} > 0$ $N_B > 0$ $C_{np} > 0$

شرط پایداری استاتیکی سمتی

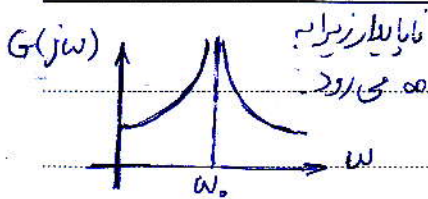
* روش‌های بررسی پایداری دینامیکی طولی

از طریق بررسی معادلات حرکت و نتایج حاصل از آن‌ها می‌باشد



الف) بررسی رفتار زمانی متغیرهای پرواز با حل معادلات و رسم منحنی‌های برای سیستم‌های خطی

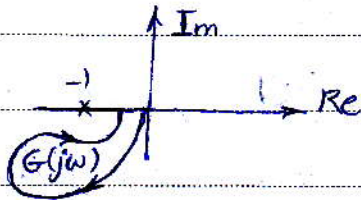




ب. روش‌های فرکانسی ← رسم پاسخ فرکانسی
 معیار پایداری نایکویست



شرط پایداری سیستم مدار بسته فوق این است که منحنی نایکویست $G(jw)$ حول نقطه -1 در جهت عقربه‌های ساعت حوضش کامل نداشته باشد.



ج. استفاده از معادله مشخصه سیستم دینامیکی خطی:

$$\Delta(s) = a_n s^n + a_{n-1} s^{n-1} + \dots + a_1 s + a_0$$

ا. ج. رسم مکان خندشی (ریشه‌های معادله مشخصه) $0 < K < \infty$ کسین کسینی



ب. ج. استفاده از معیار پایداری راوس هرولیت

بر اساس علامت ضرایب معادله مشخصه و روابط بین آن‌ها می‌باشد

اگر $a_n > 0$:

a_{n-1}	a_n	a_{n-1}	a_n	a_{n-1}	a_n	a_{n-1}	a_n
a_{n-2}	a_{n-1}	a_{n-2}	a_{n-1}	a_{n-2}	a_{n-1}	a_{n-2}	a_{n-1}
a_{n-3}	a_{n-2}	a_{n-3}	a_{n-2}	a_{n-3}	a_{n-2}	a_{n-3}	a_{n-2}
a_{n-4}	a_{n-3}	a_{n-4}	a_{n-3}	a_{n-4}	a_{n-3}	a_{n-4}	a_{n-3}

$$a_{n-1} > 0, \Delta_1 > 0, \Delta_2 = \begin{vmatrix} a_{n-1} & a_n \\ a_{n-2} & a_{n-1} \end{vmatrix} > 0$$

$$\Delta_3 = \begin{vmatrix} a_{n-1} & a_n & 0 \\ a_{n-2} & a_{n-1} & a_{n-1} \\ a_{n-3} & a_{n-2} & a_{n-2} \end{vmatrix} > 0$$

$$n=1: \Delta(s) = a_1 s + a_0, a_0 > 0, a_1 > 0$$

$$n=2: \Delta(s) = a_2 s^2 + a_1 s + a_0, a_0 > 0, a_1 > 0, a_2 > 0$$

$$n=3: \Delta(s) = a_3 s^3 + a_2 s^2 + a_1 s + a_0, a_i > 0, i=1, 2, 3$$

$$\Delta_2 = a_1 a_2 - a_0 a_3 > 0$$

$n=4 \quad \Delta(s) = a_4 s^4 + a_3 s^3 + a_2 s^2 + a_1 s + a_0 \quad a_i > 0 \quad i=1 \dots 4$

$\Delta_4 = a_4 a_3 - a_1 a_2 > 0$

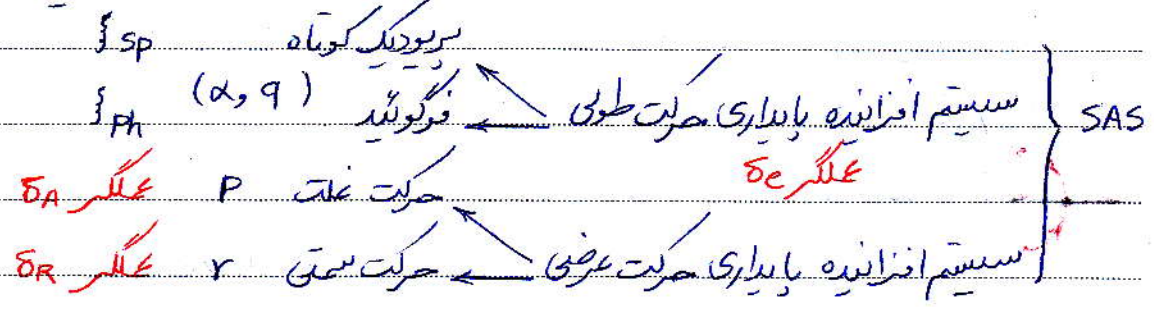
$\Delta_3 = a_1 a_2 a_3 - a_1^2 a_4 - a_0 a_3^2 > 0$

فصل ۴ - انواع سیستم های کنترل اتوماتیک پرواز هواپیما

Automatic Flight Control Systems (AFCS)

الف) سیستم های افزایش پایداری
 stability Augmentation Systems (SAS)
 فصل ۹ کتاب مک لین

سیستمی که رفتار طبیعی هواپیما را پایدارتر می سازد و میرایی نوسانات طبیعی را تسخیر می کند.



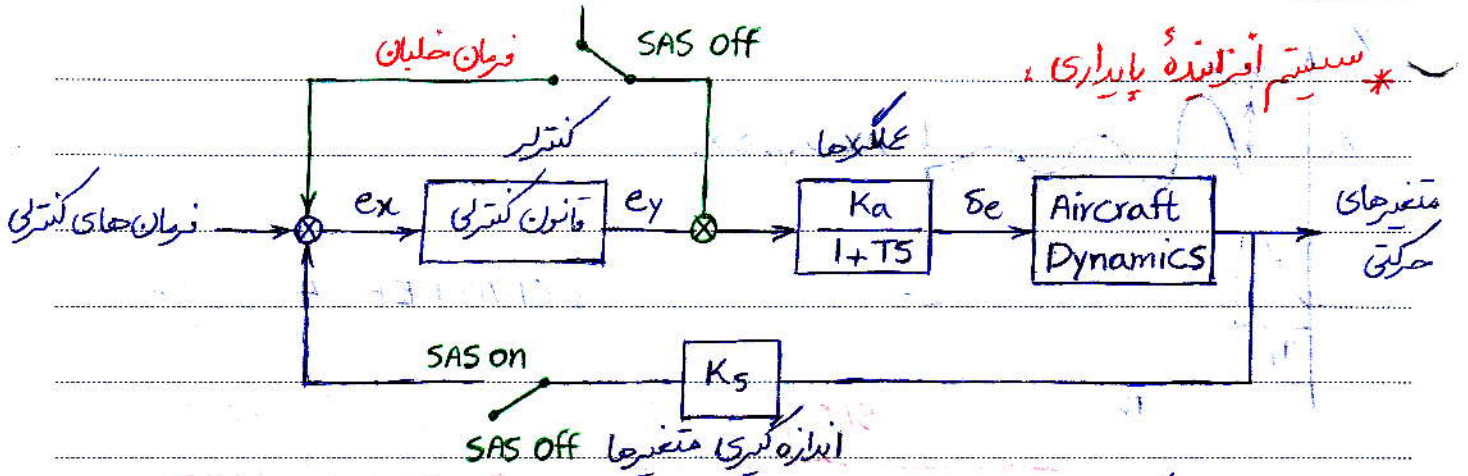
ب) سیستم های کنترل وضعیت پرواز
 Attitud Control Systems (ACS)
 فصل ۱۰ مک لین

- ۱- سیستم کنترل ارتفاع پرواز h δ_e δ_A
- ۲- سیستم کنترل سرعت پرواز u δ_{th} δ_A
- ۳- سیستم کنترل عدد ماخ M δ_e δ_A
- ۴- سیستم کنترل اتوماتیک فرود
- ۵- سیستم کنترل زاویه شیب مسیر γ
- ۶- سیستم دنباله گر مسیر از روی نقطه

ج) سیستم های کنترل مسیر
 فصل ۱۱ مک لین

Terrian-Following Control Systems

SAS on

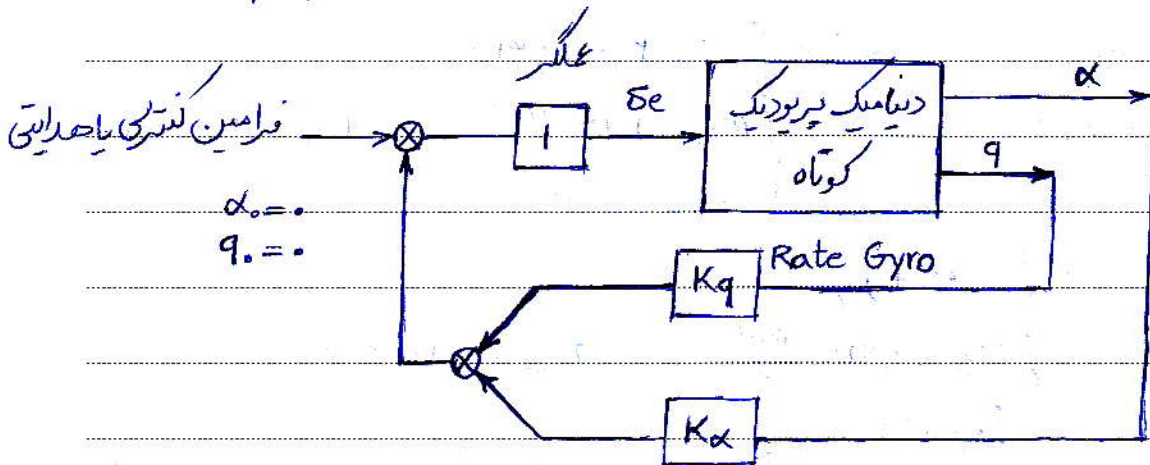


T ثابت زمانی عملکرد
 * سیستم افزاینده پایداری فقط در پرواز دائمی (سیر) فعال است.
 $\omega_s < T < \omega_s$ مانده

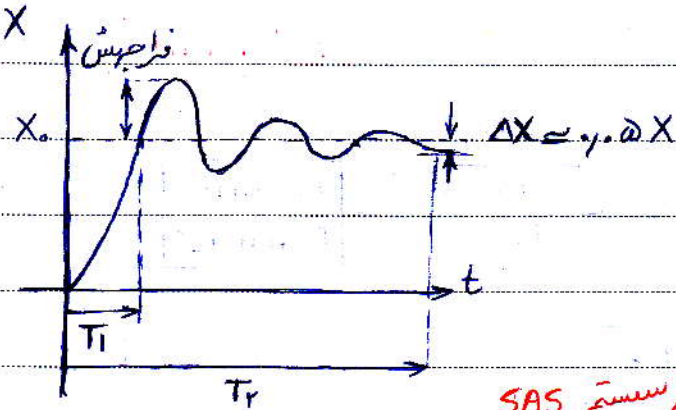
✓ برای سنسورها (اندازه گیری ها) در حالت ایده آل K_s به عنوان ضریب تبدیل در نظر گرفته می شود.
 ✓ برای دینامیک خلبان سریع بلند مانند میکرو UAV ها تابع تبدیل سنسور به صورت $\frac{K_s}{s^2 + 2\zeta_s \omega_s s + \omega_s^2}$

سیستم افزاینده پایداری حرکت پرواز کوتاه :
 قانون نونیک (فانوی کنتری)

$$\begin{cases} \dot{\alpha} = Z_{\alpha} \cdot \alpha + q + \frac{Z_{\delta e}}{U_0} \cdot \delta_e \\ \dot{q} = M_{\alpha} \cdot \alpha + M_{\dot{\alpha}} \cdot \dot{\alpha} + M_q \cdot q + M_{\delta e} \cdot \delta_e \\ \delta_e = K_q \cdot q + K_{\alpha} \cdot \alpha \end{cases}$$



سنسور زاویه چرخه
 K_q و K_{α} به عنوان گین های کنتری پارامترهای هستند که با سببی در طراحی سیستم کنترل بدست آیند.
 معیار طراحی K_q و K_{α} یکی ضریب میرایی نسبی سیستم ζ_{sp} ($0.7 < \zeta_{sp} < 0.9$) و دیگری فرکانس طبیعی سیستم مدار بسته ω



مسئله حل‌شده 4 - CHARLIE

میرایی از سیستم SAS

میرایی از حرکت طبیعی

$$\Delta s_p(s) = s^2 + \left(-\left(\frac{Z_{se} M_{\dot{\alpha}} + M_{se}}{U_0} \right) K_q - \frac{Z_{se} K_{\alpha}}{U_0} - (M_{\dot{\alpha}} + M_q + Z_{\alpha}) \right) s$$

$$+ (Z_{\alpha} M_q - M_{\alpha}) + \left[\left(\frac{Z_{se} M_q - M_{se}}{U_0} \right) K_{\alpha} + (Z_{\alpha} M_{se} - M_{\alpha} \frac{Z_{se}}{U_0}) K_q \right]$$

فرکانس طبیعی مدار باز

تغییر فرکانس طبیعی از SAS

$$\Delta s_p(s) = s^2 + (0.917 K_q + 0.02 K_{\alpha} + 1.047) s + 1.773 + 0.32 \omega K_q + 0.931 K_{\alpha}$$

مدار باز: $K_q = K_{\alpha} = 0$

ریشه‌ها $\left\{ -0.234 \pm j 1.122 \right.$

$$\omega_{sp} = 1.332 \frac{\text{rad}}{s} \rightarrow T_{sp} = \frac{2\pi}{\omega_{sp}} = 4.7 \text{ sec}$$

$$\left\{ s_p = 0.4 \right.$$

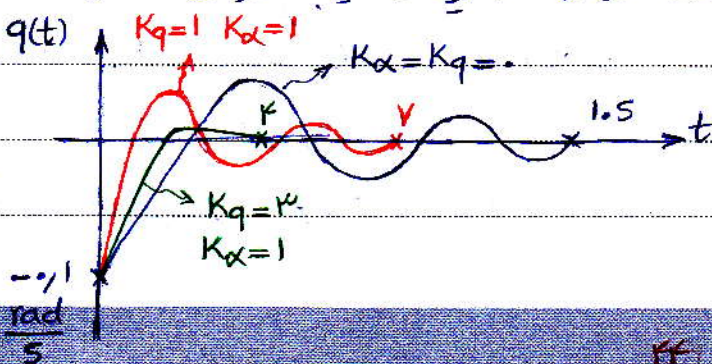
SAS مدار بسته $\rightarrow K_q = 1$ ریشه‌ها $\left\{ -1.002 \pm j 1.423 \right.$

$$K_{\alpha} = 1 \left\{ \begin{aligned} \omega_{sp} &= 1.4 \frac{\text{rad}}{s} \rightarrow T_{sp} = 4.5 \text{ sec} \\ s_p &= 0.274 \end{aligned} \right.$$

$K_q = 3$ ریشه‌ها $\left\{ -1.92 \pm j 0.91 \right.$

$$K_{\alpha} = 1 \left\{ \begin{aligned} \omega_{sp} &= 1.918 \frac{\text{rad}}{s} \rightarrow T_{sp} = 3.28 \text{ sec} \\ s_p &= 1 \end{aligned} \right.$$

سیستم خشک شده و باعث ناراحتی مسافران و آسیب مسازهای می‌شود



بانی است :

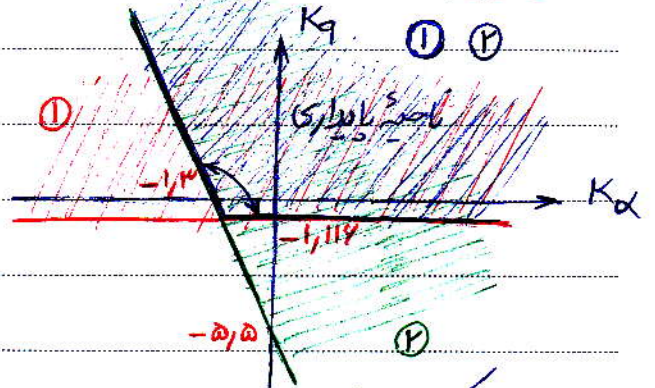
کنترل پایداری :

$$\begin{cases} 0.917 K_q + 0.2 K_\alpha + 1.97 \\ 1.773 + 0.32 \omega K_q + 0.931 K_\alpha \end{cases}$$

$$\begin{cases} 1.773 + 0.32 \omega K_q + 0.931 K_\alpha \end{cases}$$

$$\textcircled{1} K_q = -0.218 K_\alpha - 1.144$$

$$\textcircled{2} K_q = -2.9 K_\alpha - \omega, \omega$$



* سیستم کنترل خطی ϕ :

$$\begin{cases} \dot{P} = L'_P \cdot P + L'_S A \cdot \delta A \\ \dot{\phi} = P \end{cases}$$

